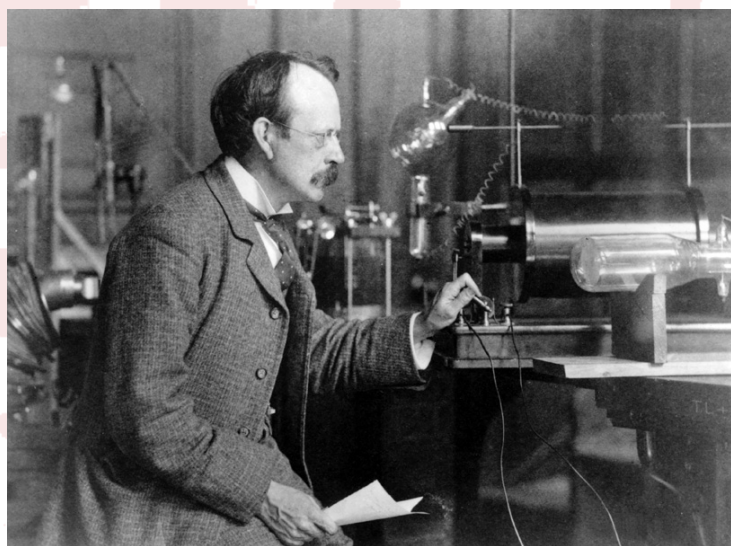


§ 1.2 电子—电子的发现



阴极射线粒子是一种全新的粒子，所带的电荷量与H正离子的电荷量大小相等而符号相反，即 $-e$ ，而其质量是H原子质量的约千分之一，这就是“电子”。



获得了1906年诺贝尔物理奖

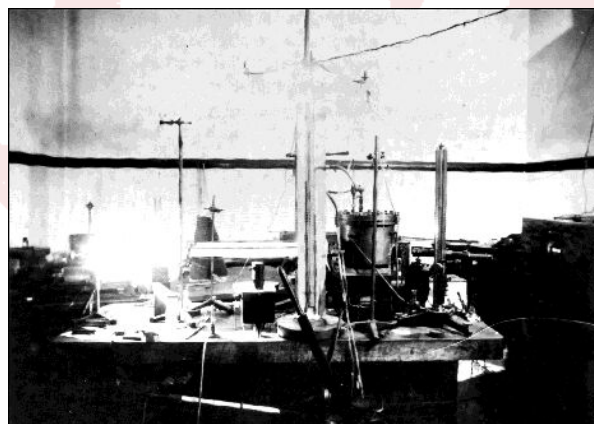
J. J. Thomson (1856-1940)

§ 1.2 电子—电子的电荷量(基本电荷 e 的测量)



密立根油滴实验:

- (1) 直接测量了基本电荷量 e ;
- (2) 直接证明了电荷的原子化(量子化), 即总是基本电荷量的整数倍。



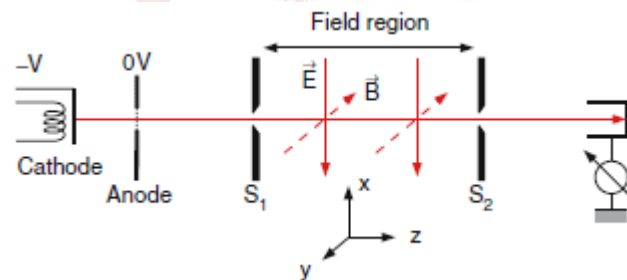
获得了1923年诺贝尔物理奖

§ 1.2 电子—电子的电荷量(基本电荷 e 的测量)



更精确的荷质比测量

$$e/m = 1.758820174 \times 10^{11} \text{ C/kg}$$



$$e = 1.602176462(63) \times 10^{-19} \text{ C}$$

$$m_e = 9.10938188(72) \times 10^{-31} \text{ kg} = 0.510998902(21) \text{ MeV}/c^2$$

$$M_{\text{H}} \approx m_p = 1.67262158 \times 10^{-27} \text{ kg}$$

$$m_e / M_{\text{H}} \approx 1/1836.15$$

§ 1.2 电子—电子的电荷量(基本电荷 e 的测量)



电子的大小

电子的经典半径(Lorentz半径):

$$m_e c^2 = \frac{1}{4\pi\epsilon_0} \frac{e^2}{r_c} \quad \rightarrow \quad r_c = \frac{1}{4\pi\epsilon_0} \frac{e^2}{m_e c^2} = 1.44\text{eV} \cdot \text{nm} \frac{1}{0.511\text{MeV}} \\ \sim 2.818 \times 10^{-15} \text{m}$$

复合常数

$$\frac{e^2}{4\pi\epsilon_0} = 1.44\text{eV} \cdot \text{nm}$$

量子电动力学(QED)假设电子是点粒子。高能正、负电子对撞实验表明, 到目前为止, 电子在 10^{-18}m 范围外仍可以看作是点粒子。

§ 1.2 电子—Thomson原子模型



电子 

$$m_e = 9.10938291(40) \times 10^{-31} \text{ kg}$$

$$r_e < 10^{-18} \text{ m}$$

带负电 $e = 1.602176565(35) \times 10^{-19} \text{ C}$

(氢)原子

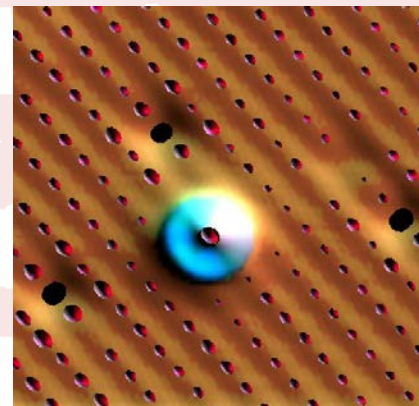
$$m_H = 1.67262158 \times 10^{-27} \text{ kg}$$

$$r_H \approx 0.53 \times 10^{-10} \text{ m}$$

电中性



原子中带正电的物质



镍表面的一个氢原子

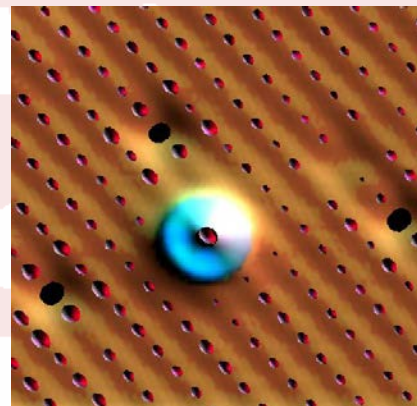
原子中带正电的物质

质量：约等于全部的原子质量 (电子质量可以忽略)

电荷量： $+Ze$

(假设原子中有 Z 个电子，则电子携带的总电荷量为 $-Ze$)

原子的结构？

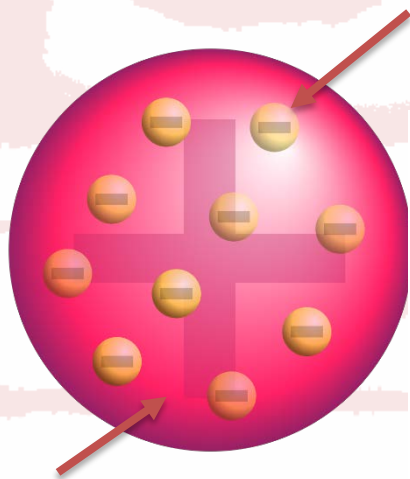


镍表面的一个氩原子

汤姆森原子模型

原子中带正电($+Ze$)的物质均匀分布在原子空间 ($R \approx 10^{-10}\text{m}$), 而 Z 个电子则处在原子球内的平衡位置上。

带负电的电子(葡萄干)



带正电物质(布丁)



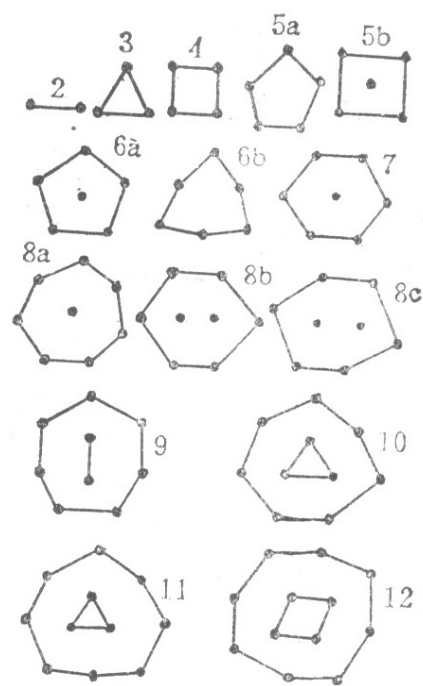
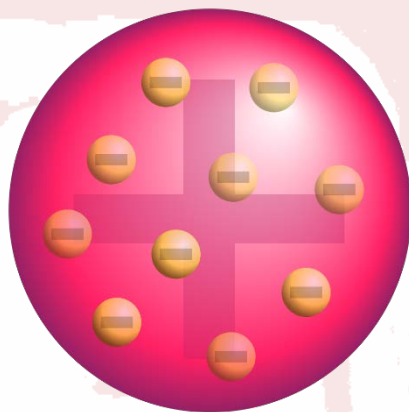
葡萄干布丁模型

§ 1.2 电子—Thomson原子模型



电子围绕原子中心作简谐振动，辐射电磁波。

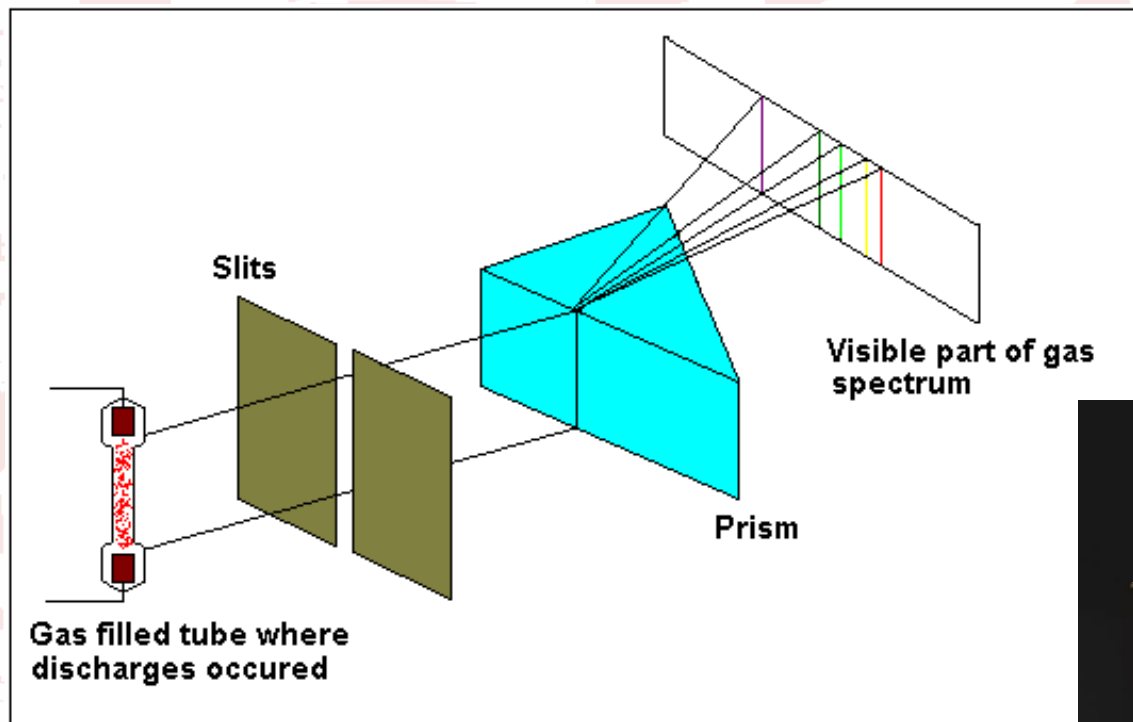
- (1) 原子的电中性；
- (2) 稳定性；
- (3) 定性解释辐射特性。



§ 1.2 电子—Thomson原子模型



19世纪中叶，基尔霍夫和本森等人发展了光谱分析技术。



Discharges in the low - pressure gas filled tube are sources of light, which undergo refraction on a prism. We see the line spectrum of the gas.





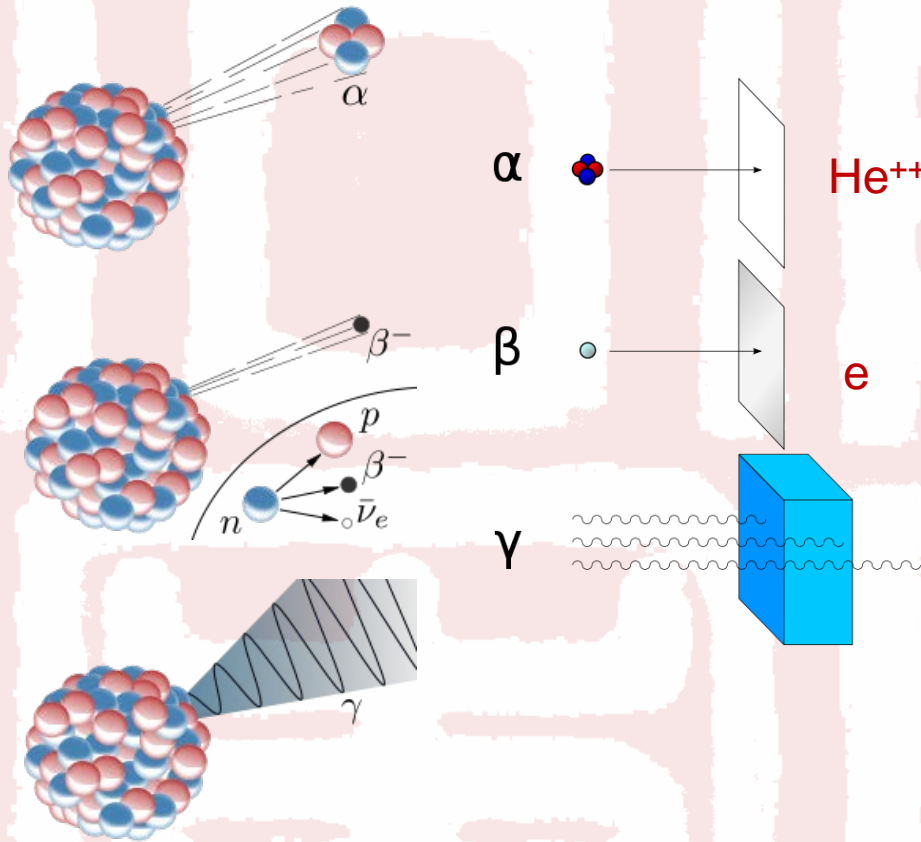
探测古墓内部结构的洛阳铲



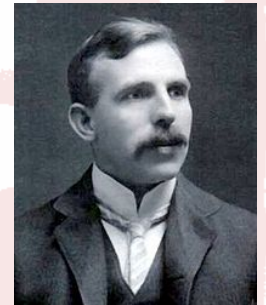
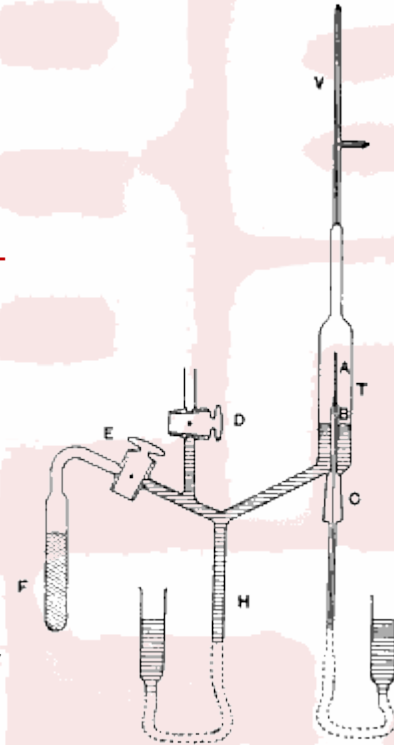
§ 1.3 α 粒子散射实验和卢瑟福原子模型-- α 粒子散射实验



1896年，贝克勒尔发现了放射性现象。



H. Becquerel
(1852-1908)



E. Rutherford
(1871-1937)



The Nobel Prize in Chemistry 1908

"for his investigations into the disintegration of the elements, and the chemistry of radioactive substances"



探测原子内部结构的洛阳铲

α 粒子 二价离子 He^{++}

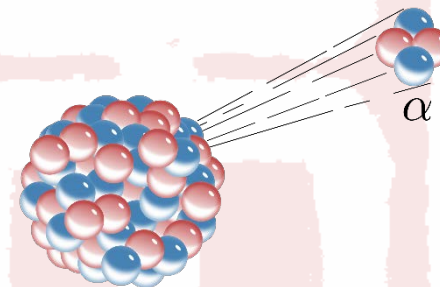
质量 $m_{\alpha} = 4m_H$

带正电 $q = 2e$

新能量单位：电子伏特 (eV)

单个电子经过1V的电势差所获得的能量

$$1 \text{ MeV} = 1 \times 10^6 \text{ eV}$$



比如：



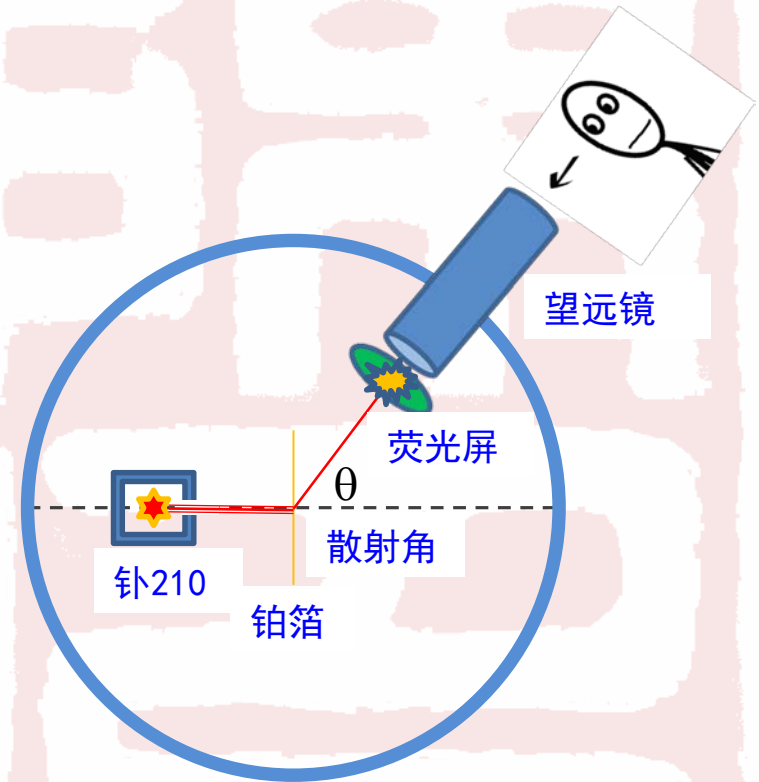
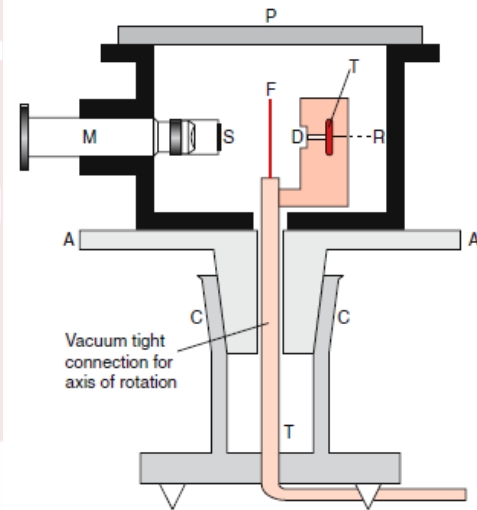
钋210放射源

放出的 α 粒子能量为 5.3 MeV

§ 1.3 α 粒子散射实验和卢瑟福原子模型-- α 粒子散射实验



1909年，卢瑟福和他的助手盖革和马斯登做了 α 粒子与铂箔(μm)的散射(碰撞)实验。



结果：绝大部分 α 粒子几乎直接穿透，但有约1/8000的 α 粒子散射角度大于 90° 。

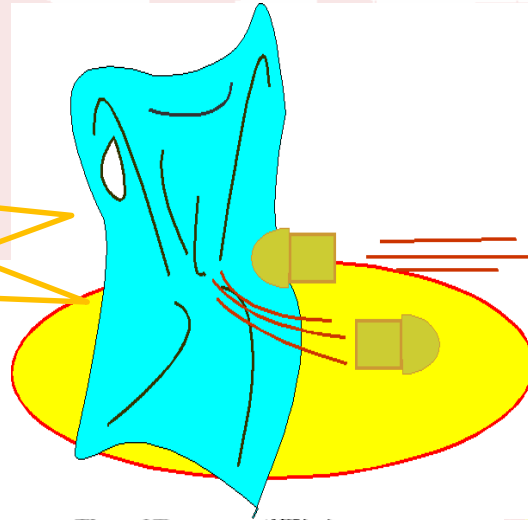
Geiger H. & Marsden E. (1909). "On a Diffuse Reflection of the α -Particles".
Proceedings of the Royal Society, Series A 82: 495-500

§ 1.3 α 粒子散射实验和卢瑟福原子模型-- α 粒子散射实验

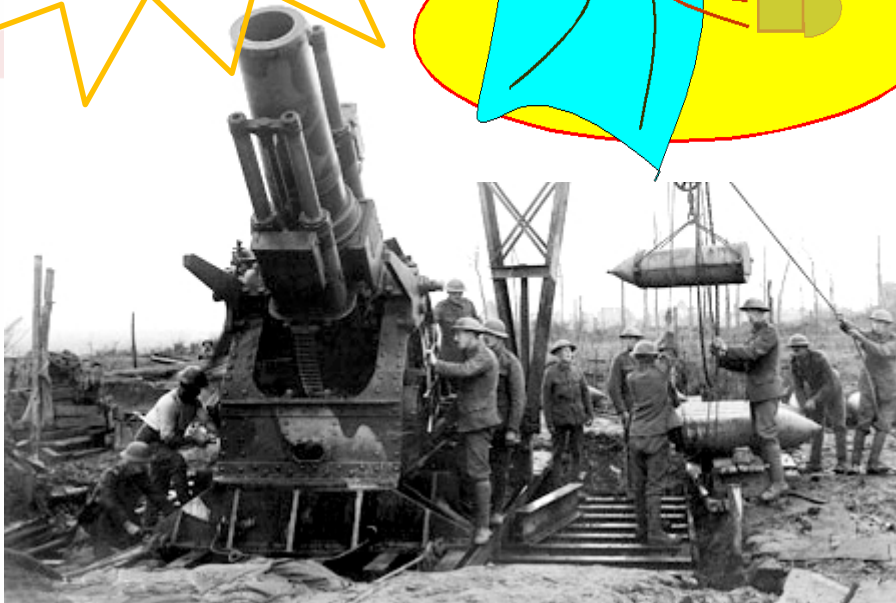


“It was quite the most incredible event that has ever happened to me in my life. It was almost as incredible as if you fired a 15-inch shell at a piece of tissue paper and it came back and hit you.”

Why?



—Ernest Rutherford

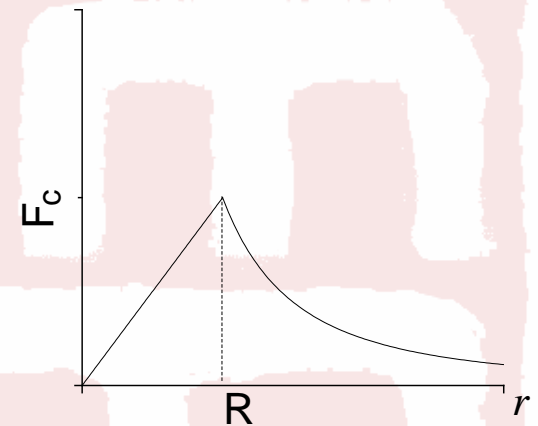
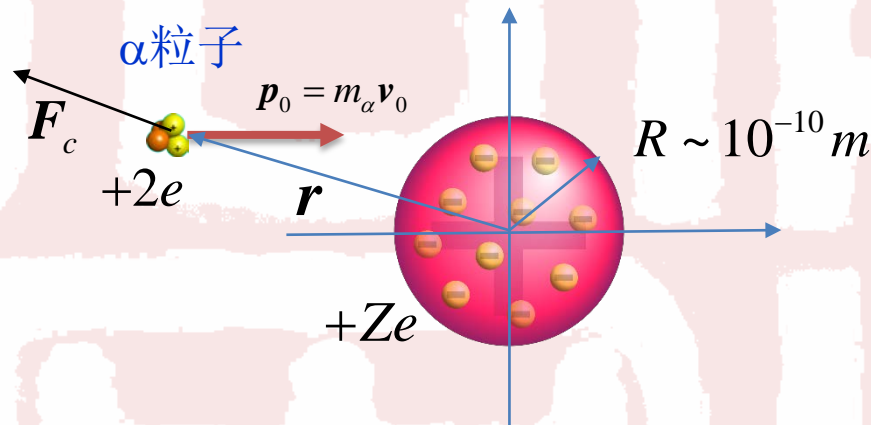


§ 1.3 α 粒子散射实验和卢瑟福原子模型-- α 粒子散射实验



[例1.1] 设入射 α 粒子的能量为5MeV，散射体是厚度为 $1\mu\text{m}$ 的铂箔，利用汤姆森模型估计散射 α 粒子的偏转角，以及发生大于 90° 散射的概率。

解：由于 $m_e \ll m_\alpha$ 可以忽略电子的影响。



α 粒子受到正电物质的库伦力，其大小：

在 R 处， α 粒子受力最大。

$$F_c = \begin{cases} \frac{1}{4\pi\epsilon_0} \frac{2Ze^2}{r^2} & r > R \\ \frac{1}{4\pi\epsilon_0} \frac{2Ze^2 r}{R^3} & r \leq R \end{cases}$$

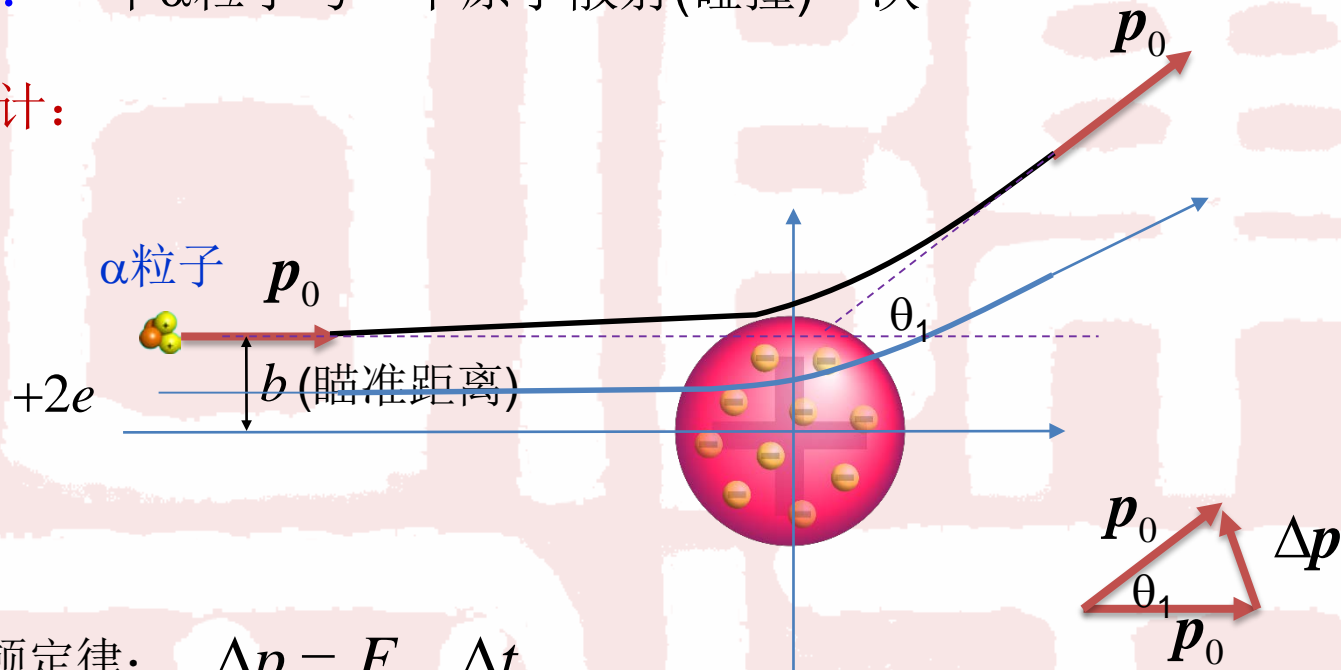
$$F_{\max} = \frac{1}{4\pi\epsilon_0} \frac{2Ze^2}{R^2}$$

§ 1.3 α 粒子散射实验和卢瑟福原子模型-- α 粒子散射实验



单次散射：一个 α 粒子与一个原子散射(碰撞)一次

散射角估计：



根据牛顿定律： $\Delta p = F_{\max} \Delta t$

Δt 近似为 α 粒子飞越原子的时间： $\Delta t \sim \frac{R}{v}$

$$F_{\max} = \frac{1}{4\pi\epsilon_0} \frac{2Ze^2}{R^2}$$

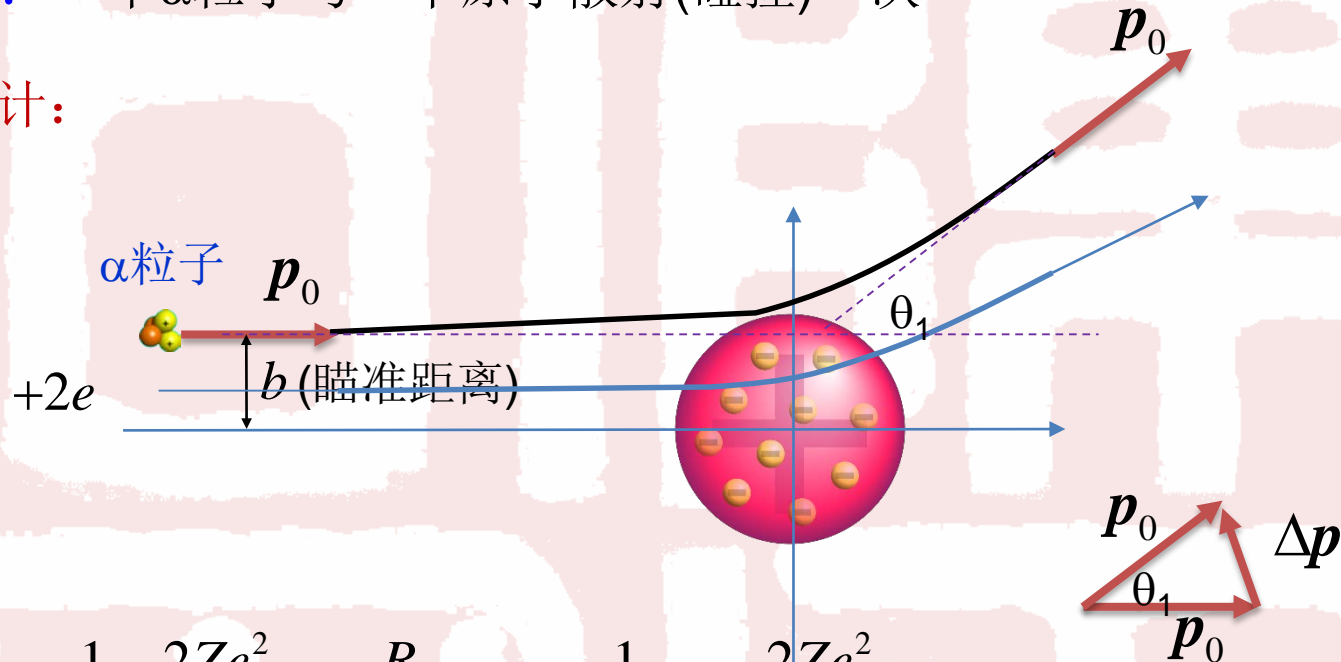
α 粒子动能 $E = \frac{1}{2} m_{\alpha} v^2 \rightarrow v = \sqrt{2E / m_{\alpha}}$

§ 1.3 α 粒子散射实验和卢瑟福原子模型-- α 粒子散射实验



单次散射：一个 α 粒子与一个原子散射(碰撞)一次

散射角估计：



所以：

$$\Delta p \sim \frac{1}{4\pi\epsilon_0} \frac{2Ze^2}{R^2} \frac{R}{\sqrt{2E/m_\alpha}} = \frac{1}{4\pi\epsilon_0} \frac{2Ze^2}{\sqrt{2E/m_\alpha} R}$$

Δp 很小，所以有 $\Delta p \sim p_0 \theta_1$

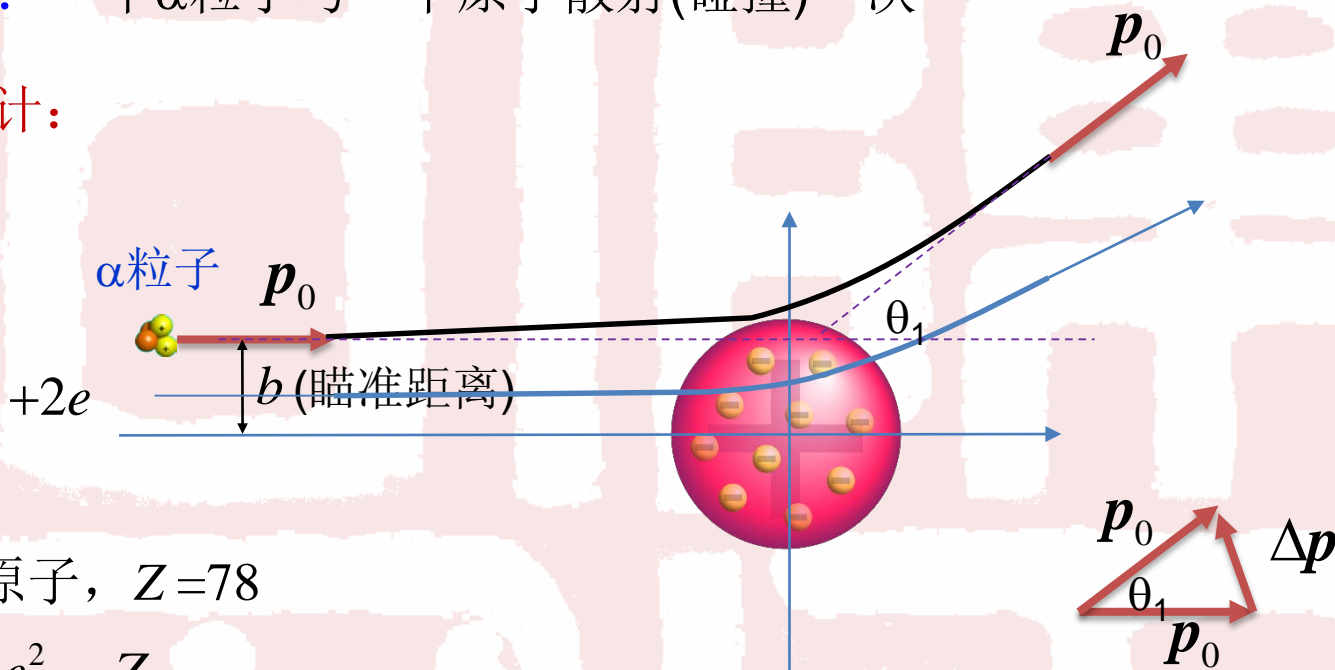
$$\text{则： } \theta_1 \sim \frac{\Delta p}{p_0} = \frac{\Delta p}{m_\alpha v} = \frac{1}{4\pi\epsilon_0} \frac{2Ze^2}{\sqrt{2E/m_\alpha} R} \frac{1}{\sqrt{2m_\alpha E}} = \frac{1}{4\pi\epsilon_0} \frac{Ze^2}{RE}$$

§ 1.3 α 粒子散射实验和卢瑟福原子模型-- α 粒子散射实验



单次散射：一个 α 粒子与一个原子散射(碰撞)一次

散射角估计：



对于铂原子, $Z=78$

$$\text{有 } \theta_1 \sim \frac{e^2 Z}{4\pi\epsilon_0 RE}$$

$$= 1.44 \text{ eV} \cdot \text{nm} \cdot \frac{78}{10^{-10} \text{ m} \times 5 \times 10^6 \text{ eV}} = 2.2 \times 10^{-4} \text{ rad}$$

$$\theta_1 \sim 0.01^\circ$$

复合常数

$$\frac{e^2}{4\pi\epsilon_0} = 1.44 \text{ eV} \cdot \text{nm}$$

$$1 \text{ nm} = 1 \times 10^{-9} \text{ m}$$

§ 1.3 α 粒子散射实验和卢瑟福原子模型-- α 粒子散射实验



多次散射： α 粒子穿过铂箔会与多个原子散射(碰撞)

散射角的大小 θ 是随机的，服从正态分布(高斯分布)

分布函数

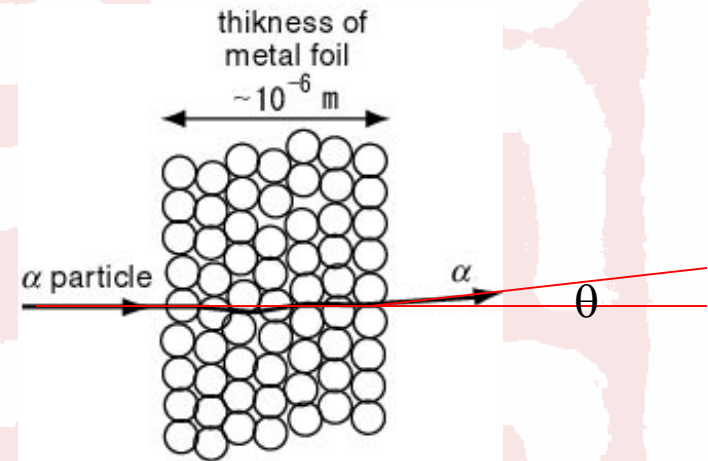
$$f(\theta)d\theta = \frac{1}{\sqrt{2\pi\bar{\theta}^2}} \exp\left(-\frac{\theta^2}{\bar{\theta}^2}\right) d\theta$$

$\bar{\theta}^2$ 是散射角的平方平均值。

$$\bar{\theta}^2 = N\theta_1^2$$

N 是碰撞次数，若原子满排在铂箔内，则

$$N \approx 10^{-6} m / 10^{-10} m = 10^4$$



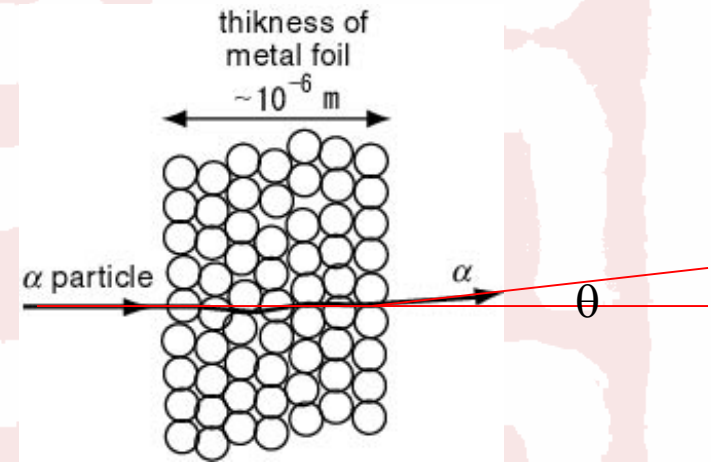
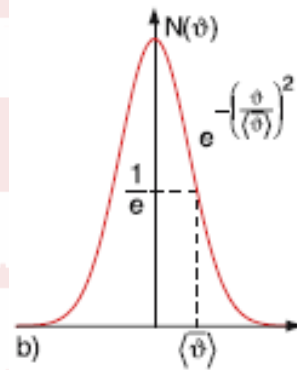
§ 1.3 α 粒子散射实验和卢瑟福原子模型-- α 粒子散射实验



多次散射： α 粒子穿过铂箔会与多个原子散射(碰撞)

$$f(\theta)d\theta = \frac{1}{\sqrt{2\pi\bar{\theta}^2}} \exp\left(-\frac{\theta^2}{\bar{\theta}^2}\right) d\theta$$

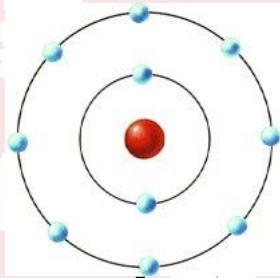
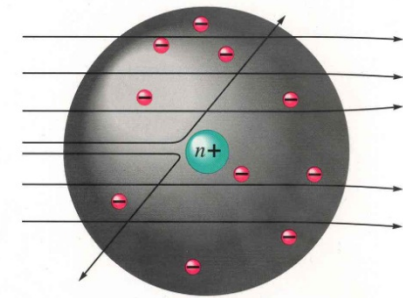
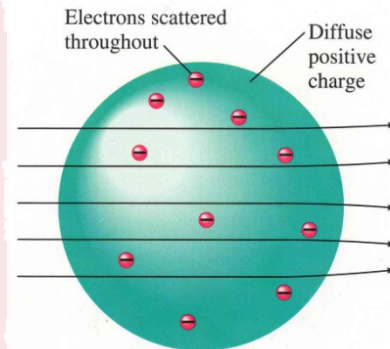
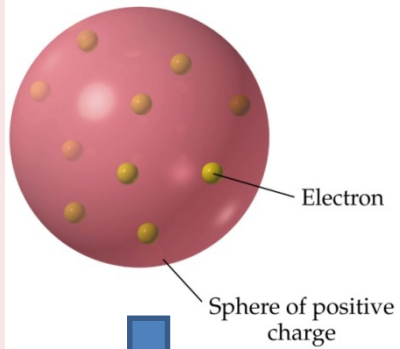
$$\bar{\theta}^2 = N\theta_1^2 \approx 10^4 \times 0.01^{\circ 2} = 1^{\circ 2}$$



大于 90° 散射的概率 $\sim 10^{-2000} = 0$

发生大角度散射几乎不可能！！

§ 1.3.2 卢瑟福原子模型和散射公式--卢瑟福原子模型



F_c

R

r

卢瑟福原子模型(核式模型): 原子中带正电部分不是均匀分布在整个原子内, 而是集中在原子中心很小的区域内, 被称为原子核, 电子围绕在原子核外。

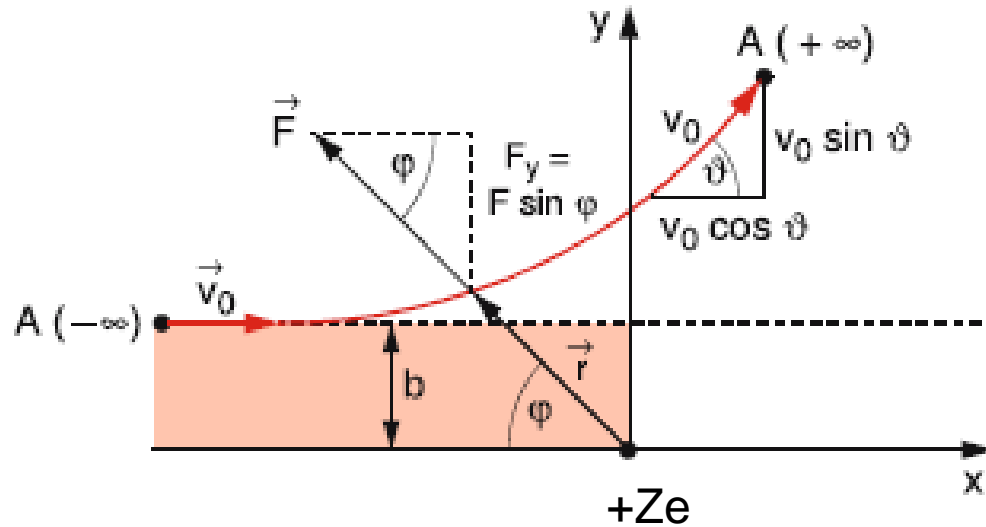


§ 1.3.2 卢瑟福原子模型和散射公式--库仑散射公式

- 假设：(1) 忽略核外电子的作用 ($m_e \ll m$);
(2) 只有库仑相互作用;
(3) 靶核静止 ($M \gg m$).

单次散射

设靶原子核的质量为 M ，具有 $+Ze$ 。质量为 m (推导过程中略去下标)，能量为 E ，带有 $+2e$ 正电荷的 α 粒子以初始速度 v_0 从无穷远处以瞄准距离 b 入射靶原子核，并散射到 θ 角方向无穷远处。



E. Rutherford, *The Scattering of α and β Particles by Matter and the Structure of the Atom*, Philosophical Magazine. Series 6, vol. 21. May 1911

§ 1.3.2 卢瑟福原子模型和散射公式--库仑散射公式

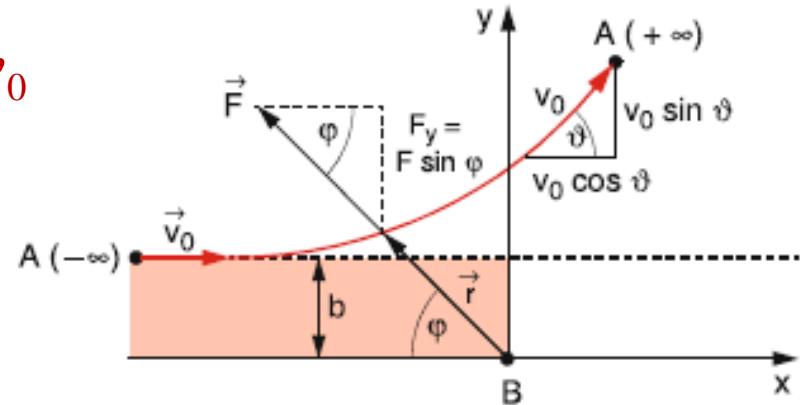


已知 α 粒子的初速度为 v_0 ，动量为 mv_0

在散射过程中，原子核对 α 粒子的作用力 F 的垂直分量：

$$F_y = F \sin \varphi = \frac{1}{4\pi\epsilon_0} \frac{2Ze^2}{r^2} \sin \varphi$$
$$= ma_y = m \frac{dv_y}{dt}$$

$$\Rightarrow dv_y = \frac{F_y}{m} dt = \frac{1}{4\pi\epsilon_0} \frac{2Ze^2}{r^2} \sin \varphi \frac{1}{m} dt$$



§ 1.3.2 卢瑟福原子模型和散射公式--库仑散射公式



由角动量守恒

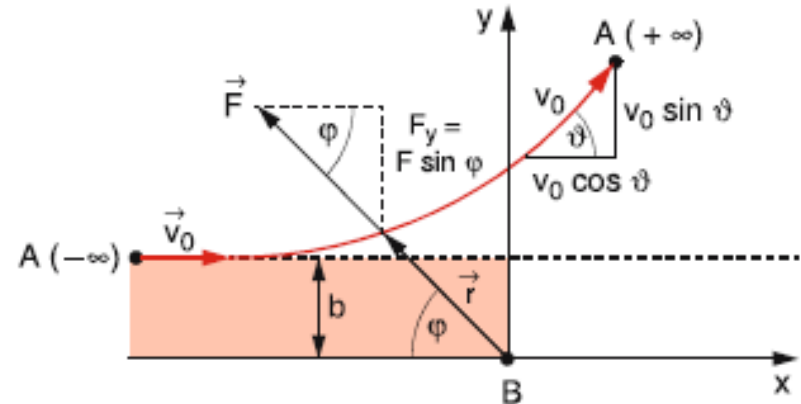
$$L = mv_0 b = mr^2 \frac{d\varphi}{dt}$$

$$\rightarrow \frac{1}{r^2} = \frac{1}{v_0 b} \frac{d\varphi}{dt}$$

代入

$$dv_y = \frac{F_y}{m} dt = \frac{1}{4\pi\epsilon_0} \frac{2Ze^2}{r^2} \sin\varphi \frac{1}{m} dt$$

$$\rightarrow dv_y = \frac{2Ze^2 \sin\varphi}{4\pi\epsilon_0 m v_0 b} d\varphi$$



§ 1.3.2 卢瑟福原子模型和散射公式--库仑散射公式

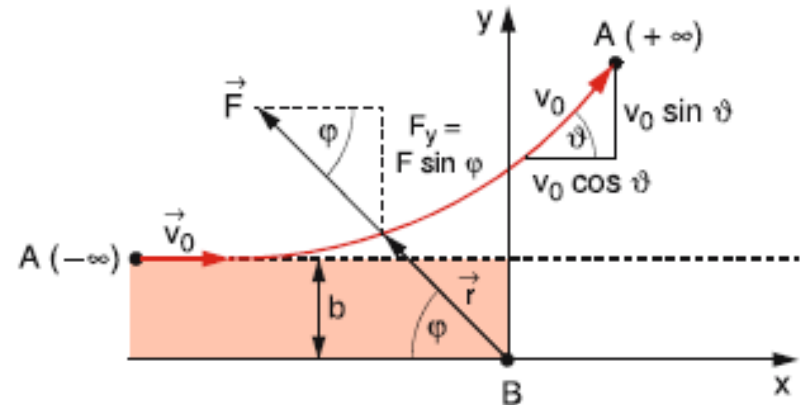


α 粒子入射时 $v_{y0} = 0$

α 粒子与原子核是弹性散射，
且 $M \gg m$ (原子核静止)

α 粒子散射到无穷远，其速度仍为 v_0 ，
散射角为 θ ，其垂直分量

$$v_{y\infty} = v_0 \sin \theta$$



$$\begin{aligned} \text{于是 } v_{y\infty} - v_{y0} &= v_0 \sin \theta - 0 = \int_0^{\pi-\theta} dv_y \\ &= \int_0^{\pi-\theta} \frac{2Ze^2}{4\pi\epsilon_0} \frac{\sin \varphi}{mv_0 b} d\varphi = \frac{2Ze^2}{4\pi\epsilon_0 mv_0 b} (1 + \cos \theta) \end{aligned}$$

整理，得

$$\operatorname{ctg} \frac{\theta}{2} = \frac{4\pi\epsilon_0}{2Ze^2} mv_0^2 b$$

§ 1.3.2 卢瑟福原子模型和散射公式--库仑散射公式



库仑散射公式

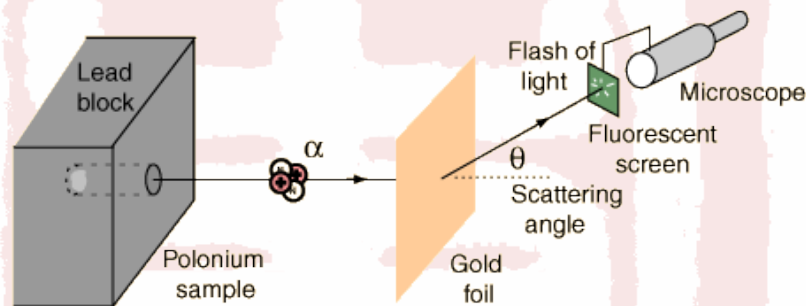
$$\operatorname{ctg} \frac{\theta}{2} = \frac{2b}{D}$$

其中

$$D = \left(\frac{1}{4\pi\epsilon_0} \right) \left(\frac{2Ze^2}{\frac{1}{2}mv_0^2} \right) = \frac{1}{4\pi\epsilon_0} \frac{2Ze^2}{E}$$

库仑散射因子

散射公式含有实验上无法测量的量**b**。

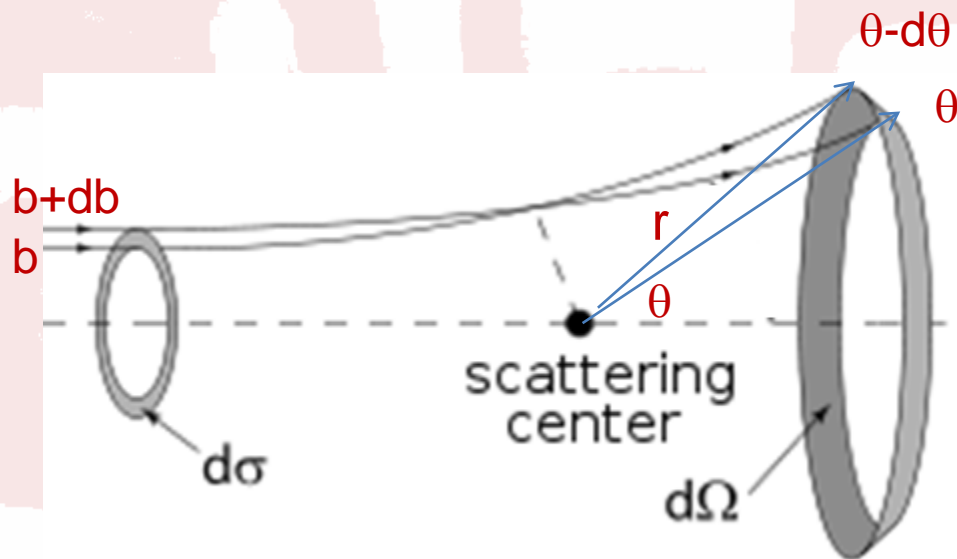


实验上测量的是：对应一定数目 n 的入射 α 粒子，散射到角度 θ 方向上，探测器所张的立体角 $d\Omega$ 内的粒子数 dn 。散射的概率

散射的概率

$$\frac{dn}{nd\Omega}$$

§ 1.3.2 卢瑟福原子模型和散射公式--卢瑟福散射公式

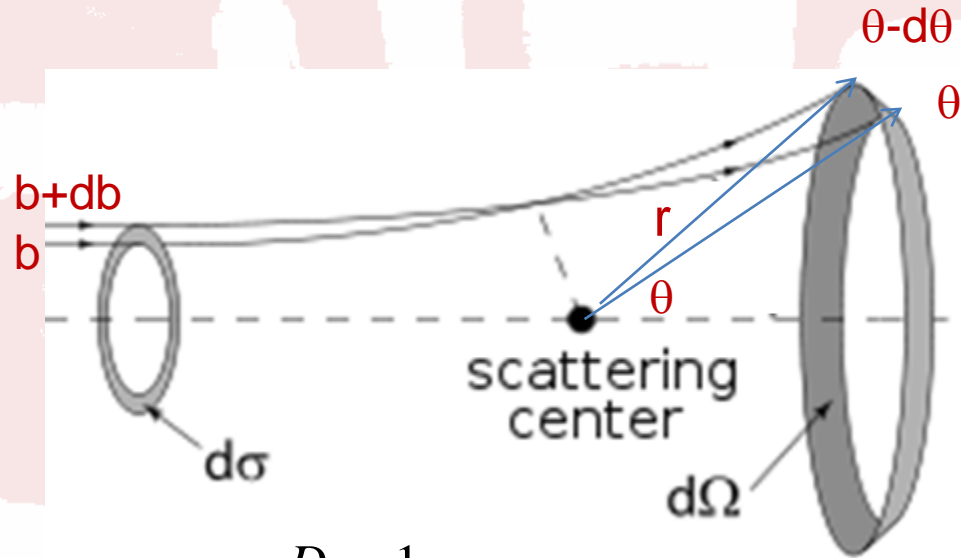


一个 α 粒子如果入射到面积元 $d\sigma$ 内，就会散射到 θ 角方向的 $d\theta$ 内

$$d\sigma = 2\pi b |db|$$

描述了概率 α 粒子散射到 θ 方向的概率。

§ 1.3.2 卢瑟福原子模型和散射公式--卢瑟福散射公式



$$\operatorname{ctg} \frac{\theta}{2} = \frac{2b}{D} \quad \longrightarrow \quad db = -\frac{D}{4} \frac{1}{\sin^2 \frac{\theta}{2}} d\theta$$

所以 $d\sigma = 2\pi b |db| = \frac{\pi D^2}{4} \frac{\cos(\theta/2)}{\sin^3(\theta/2)} d\theta$

又 $d\Omega = \frac{S}{r^2} = \frac{2\pi r \sin \theta \cdot r d\theta}{r^2} = 2\pi \sin \theta d\theta = 4\pi \sin \frac{\theta}{2} \cos \frac{\theta}{2}$

得 $d\sigma = \frac{D^2}{16} \frac{1}{\sin^4 \theta/2} d\Omega$

§ 1.3.2 卢瑟福原子模型和散射公式--卢瑟福散射公式



卢瑟福散射公式

$$\frac{d\sigma}{d\Omega} = \left(\frac{1}{4\pi\epsilon_0} \right)^2 \left(\frac{2Ze^2}{4E} \right)^2 \frac{1}{\sin^4(\theta/2)}$$

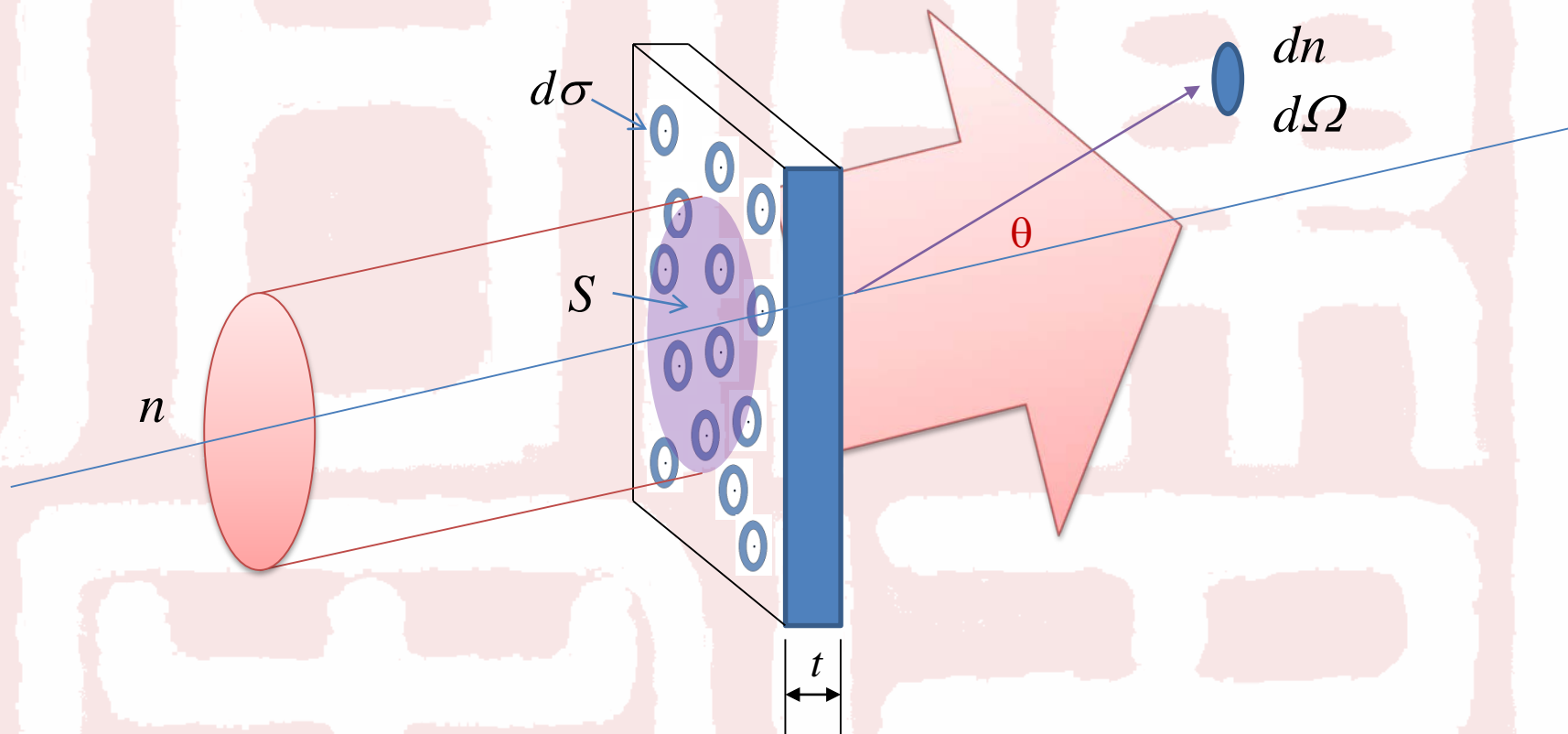
表征了 α 粒子散射到 θ 角方向上单位立体角内，每个原子的有效**散射截面**。反映了散射到 θ 角方向上单位立体角内的概率。

$\frac{d\sigma}{d\Omega}$ 称为微分散射截面，其量纲是面积。

§ 1.3.2 卢瑟福原子模型和散射公式--卢瑟福散射公式

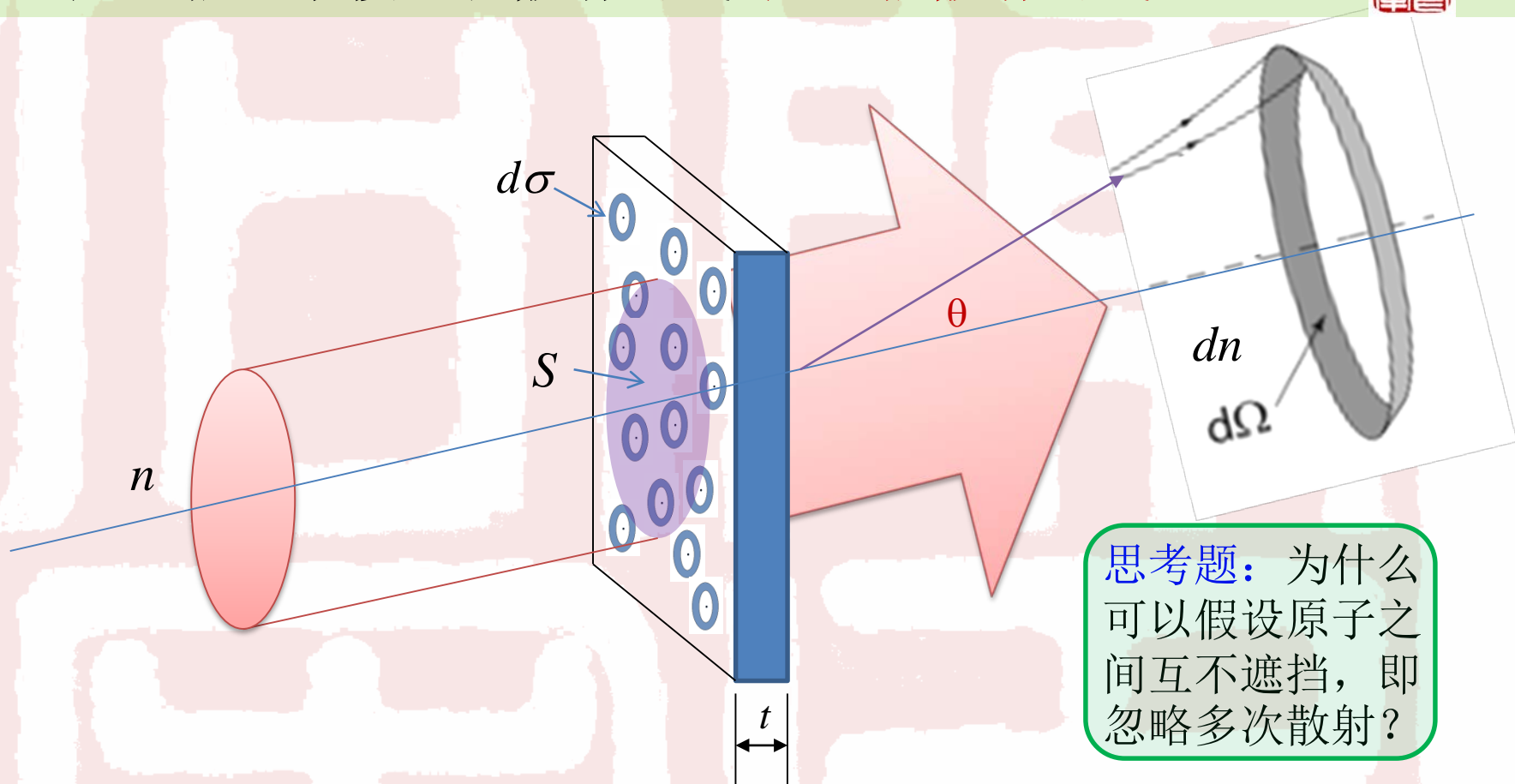


实际的靶：原子数密度为 N ，厚度为 t ， α 粒子束与靶相交的截面为 S 。



实验上测量的是：对应(单位时间)入射 α 粒子数目 n ，散射到角度 θ 方向上，探测器所张的立体角 $d\Omega$ 内的粒子数 dn 。

§ 1.3.2 卢瑟福原子模型和散射公式--卢瑟福散射公式



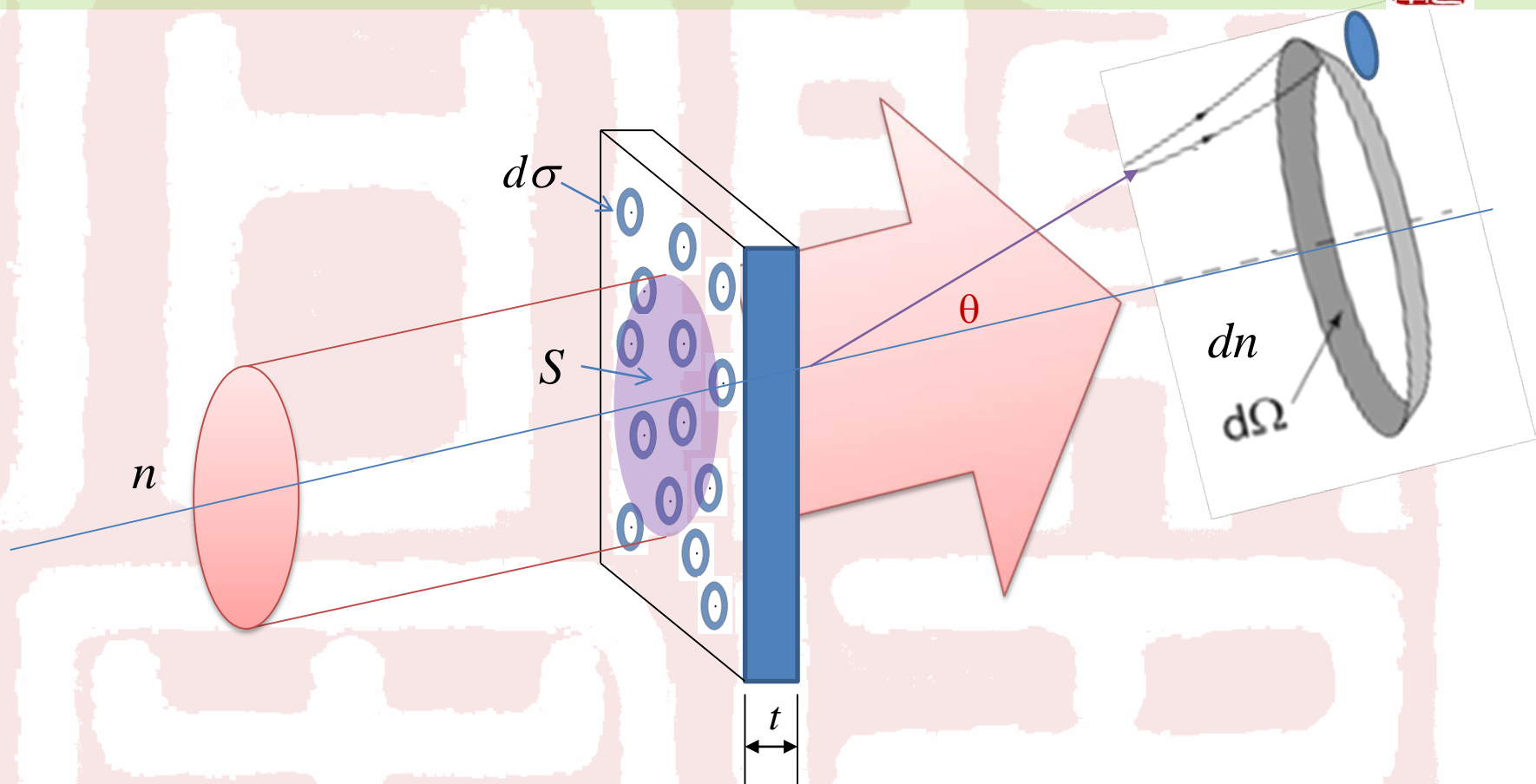
思考题：为什么可以假设原子之间互不遮挡，即忽略多次散射？

在束流与靶相交的体积 St 内，有 NSt 个原子。每个原子有一个有效散射截面 $d\sigma$ ， α 粒子打在 $d\sigma$ 内，就会散射到 θ 角方向上锥面立体角 $d\Omega$ 内。
 NSt 个原子的有效散射截面为：

$$d\Sigma = NStd\sigma$$

α 粒子打在 $d\Sigma$ 内，就会散射到 θ 角方向上锥面立体角 $d\Omega$ 内。

§ 1.3.2 卢瑟福原子模型和散射公式--卢瑟福散射公式



α 粒子散射到 θ 角方向上锥面立体角 $d\Omega$ 内的概率 $\frac{dn}{n} = \frac{d\Sigma}{S} = \frac{NStd\sigma}{S} = Ntd\sigma$

散射到 θ 角方向上单位立体角内的概率

$$\frac{dn}{nd\Omega} = Nt \frac{d\sigma}{d\Omega} = Nt \left(\frac{1}{4\pi\epsilon_0} \right)^2 \left(\frac{2Ze^2}{4E} \right)^2 \frac{1}{\sin^4(\theta/2)}$$

§ 1.3.2 卢瑟福原子模型和散射公式--卢瑟福散射公式



[例1.2] 设 α 粒子是钋源放射的，能量为5.3MeV，散射体为金箔，厚为 $1\mu\text{m}$ ， $\rho=1.93\times 10^4\text{kg}\cdot\text{m}^{-3}$ ， $Z=79$ ， $A=197$ ，试求：

- (1) α 粒子通过金箔在 60° 角方向的卢瑟福微分散射截面；
- (2) 散射角大于 90° 的所有 α 粒子占全部入射粒子的百分比。

[解] (1) 60° 角方向的卢瑟福微分散射截面：

$$\begin{aligned}\left.\frac{d\sigma(\theta)}{d\Omega}\right|_{\theta=60^\circ} &= \left(\frac{1}{4\pi\epsilon_0}\right)^2 \left(\frac{2Ze^2}{4E}\right)^2 \frac{1}{\sin^4\theta/2} \\ &= \left(\frac{e^2}{4\pi\epsilon_0}\right)^2 \left(\frac{2Z}{4E}\right)^2 \frac{1}{\sin^4\theta/2} \\ &= (1.44\text{eV}\cdot\text{nm})^2 \left(\frac{2\times 79}{4\times 5.3\text{MeV}}\right)^2 \frac{1}{\sin^4 30^\circ} \\ &= 1.84\times 10^{-23}\text{cm}^2\end{aligned}$$

复合常数

$$\frac{e^2}{4\pi\epsilon_0} = 1.44\text{eV}\cdot\text{nm}$$

(2) 散射角大于 90° 的所有 α 粒子占全部入射粒子的百分比：

$$\begin{aligned}\int_{\frac{\pi}{2}}^{\pi} \frac{dn}{n} &= \int_{\frac{\pi}{2}}^{\pi} Nt \left(\frac{1}{4\pi\epsilon_0}\right)^2 \left(\frac{2Ze^2}{4E}\right)^2 \frac{d\Omega}{\sin^4\theta/2} \\ &= \left(\frac{e^2}{4\pi\epsilon_0}\right)^2 \frac{N_A\rho t}{A} \left(\frac{2Z}{4E}\right)^2 4\pi = 8.5\times 10^{-5}\end{aligned}$$

§ 1.3.2 卢瑟福原子模型和散射公式--卢瑟福散射公式



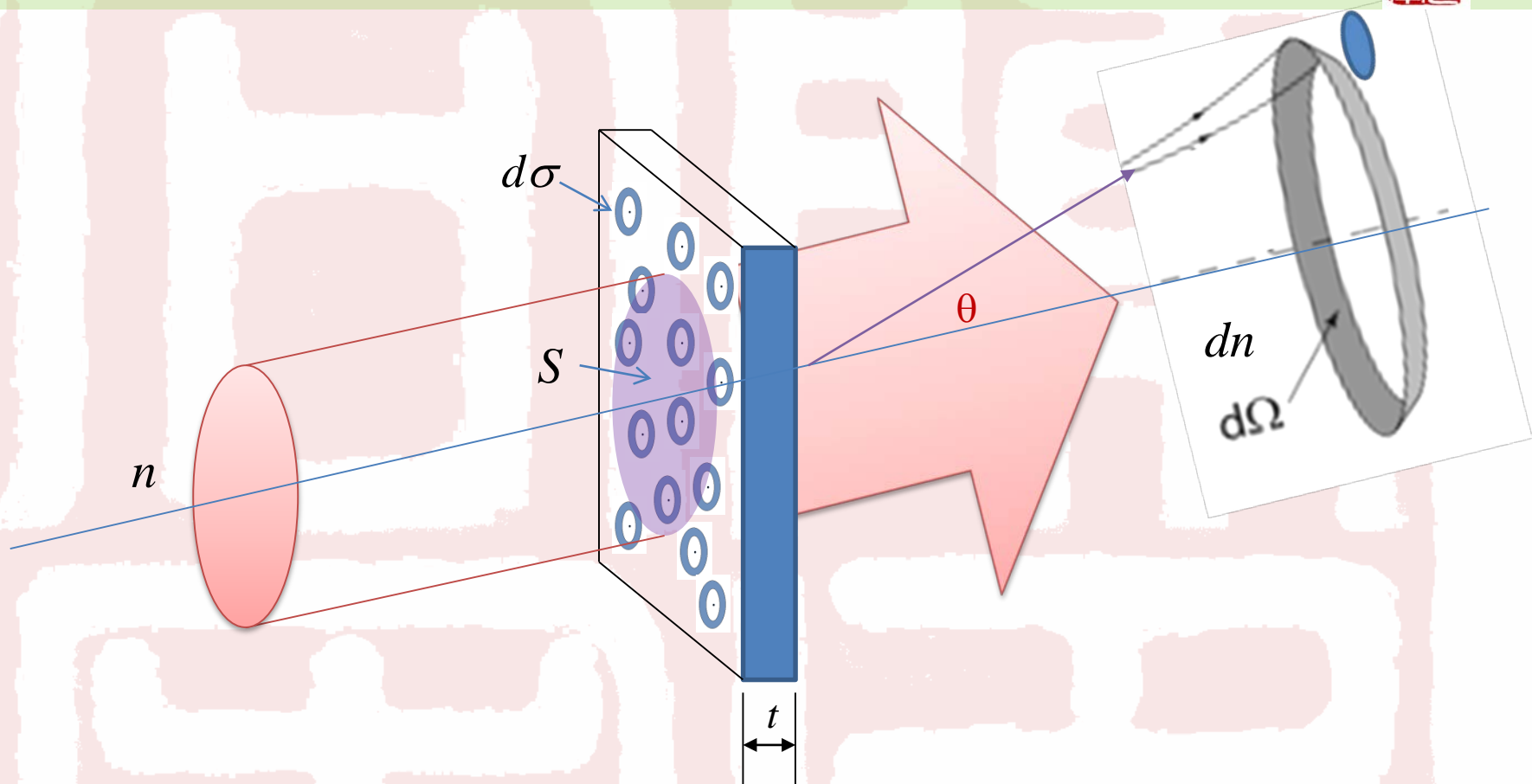
卢瑟福散射公式

$$\frac{d\sigma}{d\Omega} = \left(\frac{1}{4\pi\epsilon_0} \right)^2 \left(\frac{2Ze^2}{4E} \right)^2 \frac{1}{\sin^4(\theta/2)}$$

表征了 α 粒子散射到 θ 角方向上单位立体角内，每个原子的有效**散射截面**。反映了散射到 θ 角方向上单位立体角内的概率。

$\frac{d\sigma}{d\Omega}$ 称为微分散射截面，其量纲是面积。

§ 1.3.2 卢瑟福原子模型和散射公式--卢瑟福散射公式



α 粒子散射到 θ 角方向上锥面立体角 $d\Omega$ 内的概率 $\frac{dn}{n} = \frac{d\Sigma}{S} = \frac{NStd\sigma}{S} = Ntd\sigma$

散射到 θ 角方向上单位立体角内的概率

$$\frac{dn}{nd\Omega} = Nt \frac{d\sigma}{d\Omega} = Nt \left(\frac{1}{4\pi\epsilon_0} \right)^2 \left(\frac{2Ze^2}{4E} \right)^2 \frac{1}{\sin^4(\theta/2)}$$

§ 1.3.2 卢瑟福原子模型和散射公式--卢瑟福公式的实验验证



H. GEIGER and E. MARSDEN, The Laws of Deflexion of a Particles through Large Angles, *Philosophical Magazine*, Series 6, Volume 25, Number 148, April 1913

$$dn = nNt \left(\frac{1}{4\pi\epsilon_0} \right)^2 \left(\frac{2Ze^2}{4E} \right)^2 \frac{d\Omega}{\sin^4(\theta/2)}$$

- (1) 随角度的变化关系;
- (2) 随散射体厚度的变化关系;
- (3) 随入射粒子速度(能量)的变化关系;
- (4) 随散射材料的原子量的变化关系。

§ 1.3.2 卢瑟福原子模型和散射公式--卢瑟福公式的实验验证



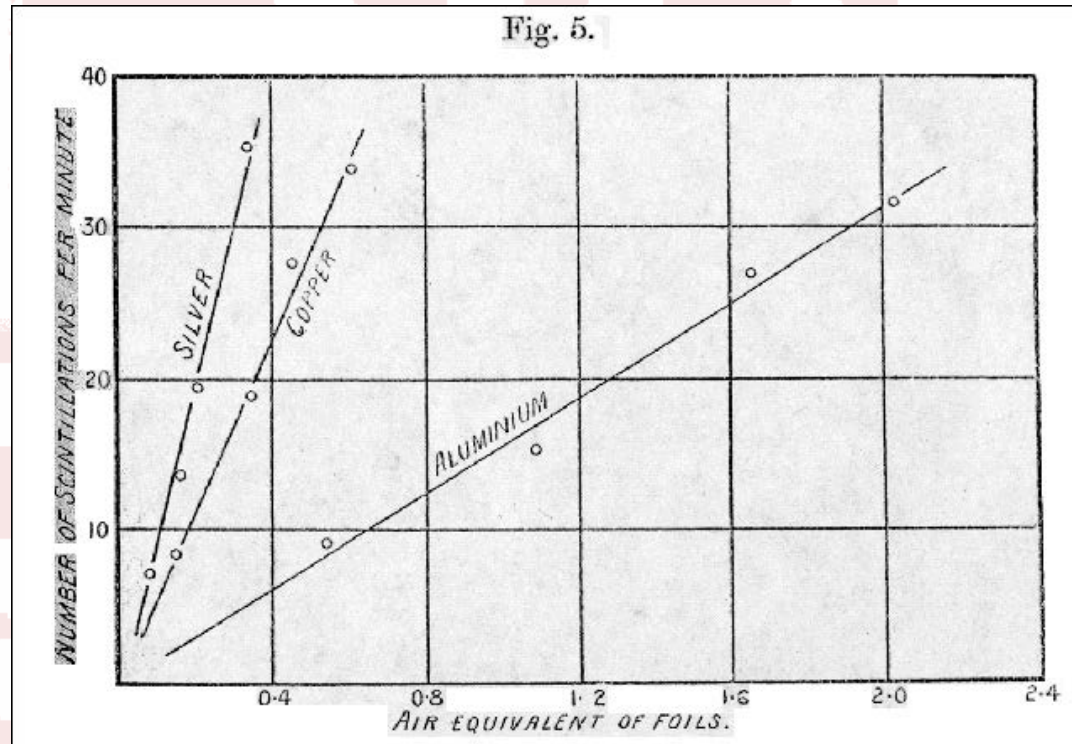
(1) 随角度的变化关系 $dn \sin^4(\theta/2) = nNt \left(\frac{1}{4\pi\epsilon_0} \right)^2 \left(\frac{2Ze^2}{4E} \right)^2 d\Omega = const.$

Angle θ	Scintillations per minute.				1 ----- $\sin^4\theta$	$dn \times (\sin^4\theta / 2)$
	Without foil.	With foil.	Corrected for effect without foil.	Corrected for decay, dn .		
150	0.2	4.95	4.75	6.95	1.15	6.0
135	2.6	8.3	5.7	8.35	1.38	6.1
120	3.8	10.3	6.5	9.5	1.79	5.3
105	0.6	10.6	10.0	14.6	2.53	5.8
75	0.0	28.6	28.6	41.9	7.25	5.8
60	0.3	69.2	68.9	101	16.0	6.3

§ 1.3.2 卢瑟福原子模型和散射公式--卢瑟福公式的实验验证



(2) 随散射体厚度的变化关系 $dn = nNt \left(\frac{1}{4\pi\epsilon_0} \right)^2 \left(\frac{2Ze^2}{4E} \right)^2 \frac{d\Omega}{\sin^4(\theta/2)} \propto t$



§ 1.3.2 卢瑟福原子模型和散射公式--卢瑟福公式的实验验证



(3) 随入射粒子速度的变化关系 $dn \cdot v^4 = nNt \left(\frac{1}{4\pi\epsilon_0} \right)^2 \left(\frac{2Ze^2}{2m} \right)^2 \frac{d\Omega}{\sin^4(\theta/2)} = const.$

I. Number of sheets of mica	II. Range R of α particles after leaving mica	III. Relative values of $1/v^4$	IV. Number dn of scintillations per minute.	V. $dn \times v^4$
0	5.5	1.0	24.7	25
1	4.76	1.21	29.0	24
2	4.05	1.50	33.4	22
3	3.32	1.91	44	23
4	2.51	2.84	81	28
5	1.84	4.32	101	23
6	1.04	9.22	255	28

§ 1.3.2 卢瑟福原子模型和散射公式--卢瑟福公式的实验验证



(4) 随散射材料的原子量 A 的变化关系 $\frac{dn}{Z^2} = nNt \left(\frac{1}{4\pi\epsilon_0} \right)^2 \left(\frac{2e^2}{4E} \right)^2 \frac{d\Omega}{\sin^4(\theta/2)} = const.$

I. Substance.	II. Atomic weight. A.	III. Air equivalent in cm.	IV. Number of scintillations per minute corrected for decay	V. Number dn of scintillations per cm. air equivalent.	VI. $A^{3/2}$.	VII. $dn/A^{3/2}$.
Gold.....	197	0.229	133	581	2770	0.21
Tin.....	119	0.441	119	270	1300	0.21
Silver.....	107.9	0.262	51.7	198	1120	0.18
Copper....	63.6	0.616	71	115	507	0.23
Aluminium.	27.1	2.05	71	34.6	141	0.24

§ 1.3.2 卢瑟福原子模型和散射公式--卢瑟福公式的实验验证



新物理量：原子核电荷数 Z

1920年，James Chadwick直接测量了Cu, Ag和Pt的 Z

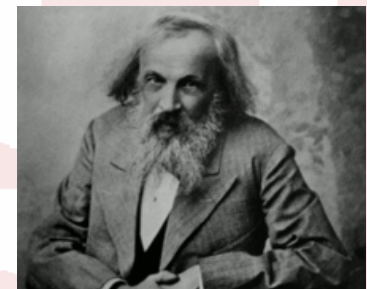
$$dn = nNt \left(\frac{1}{4\pi\epsilon_0} \right)^2 \left(\frac{2Ze^2}{4E} \right)^2 \frac{d\Omega}{\sin^4(\theta/2)}$$



J. Chadwick
(1891-1974)

发现在1.5%的误差范围内与原子序数(在元素周期表上的排序)相同。

Reihen	Gruppe I. R ⁰	Gruppe II. R ⁰	Gruppe III. R ⁰	Gruppe IV. RH ⁴ R ⁰	Gruppe V. RH ⁵ R ⁰	Gruppe VI. RH ⁶ R ⁰	Gruppe VII. RH R ⁰	Gruppe VIII. R ⁰
1	II=1							
2	Li=7	Be=9,4	B=11	C=12	N=14	O=16	F=19	
3	Na=23	Mg=24	Al=27,3	Si=28	P=31	S=32	Cl=35,5	
4	K=39	Ca=40	--44	Ti=48	V=51	Cr=52	Mn=55	Fe=56, Co=59, Ni=59, Cu=63.
5	(Cu=63)	Zn=65	--68	--72	As=75	Se=78	Br=80	
6	Rb=85	Sr=87	?Yt=88	Zr=90	Nb=94	Mo=96	--100	Ru=104, Rh=104, Pd=106, Ag=108.
7	(Ag=108)	Cd=112	In=113	Su=118	Sb=122	Te=125	J=127	
8	Cs=133	Ba=137	?Di=138	?Ce=140	--	--	--	
9	(-)	--	--	--	--	--	--	
10	--	--	?Er=178	?La=180	Ta=182	W=184	--	Os=195, Ir=197, Pt=198, Au=199.
11	(Au=199)	Hg=200	Tl=204	Pb=207	Bi=208	--	--	
12	--	--	--	Th=231	--	U=240	--	



D. Mendeleev
(1834-1907)

Mendeleev's 1871 periodic table

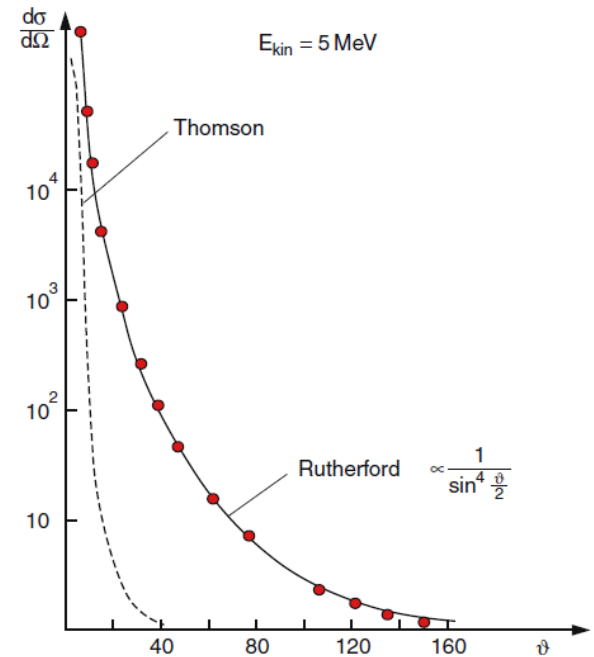
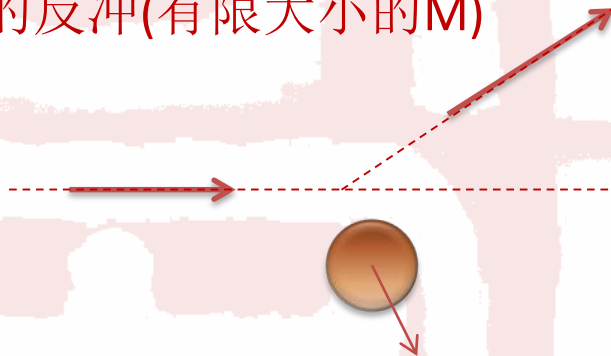
§ 1.3.2 卢瑟福原子模型和散射公式--卢瑟福公式的修正



假设

- (1) 忽略核外电子的作用 ($m_e \ll m_\alpha$);
- (2) 有库仑相互作用;
- (3) 靶核静止 ($M \gg m_\alpha$);
- (4) 忽略了多次散射。

▶ 靶原子核的反冲(有限大小的M)



卢瑟福散射公式用到质心系仍成立，转换到实验室系

$$\frac{d\sigma_L(\theta_L)}{d\Omega} = \left(\frac{1}{4\pi\epsilon_0}\right)^2 \left(\frac{2Ze^2}{4E_L \sin^2 \frac{\theta_L}{2}}\right)^2 \times \frac{\left[\cos \theta_L + \sqrt{1 - \left(\frac{m}{M} \sin \theta_L\right)^2}\right]^2}{(1 + \cos \theta_L)^2 \sqrt{1 - \left(\frac{m}{M} \sin \theta_L\right)^2}}$$

§ 1.3.2 卢瑟福原子模型和散射公式--卢瑟福公式的修正



▶ 靶原子核的反冲(有限大小的M)

散射 α 粒子的能量

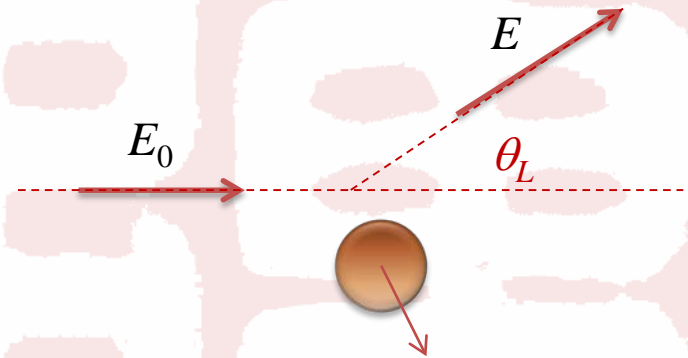
$$E = \left(\frac{m \cos \theta_L + \sqrt{M^2 - m^2 \sin^2 \theta_L}}{m + M} \right) E_0$$

当 θ 很小时, E 和 E_0 差别不大;

当 $\theta > 90^\circ$ (背散射), E 和 E_0 差别较大。

极限情况: $\theta \rightarrow 180^\circ$

$$E \rightarrow \frac{M - m}{M + m} E_0 \sim \left(1 - \frac{2m}{M} \right) E_0$$





§ 1.3.2 卢瑟福原子模型和散射公式--卢瑟福公式的修正

例如: $E_0 = 5\text{MeV}$, $m = 4\text{ u}$.

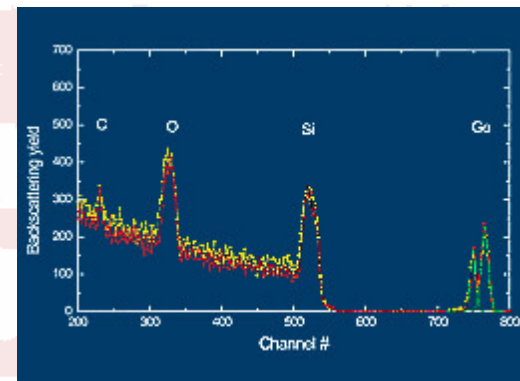
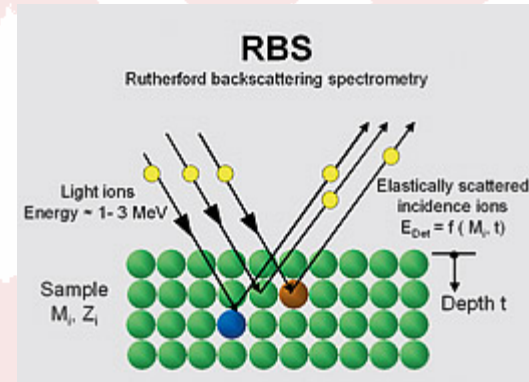
对于C元素,

$$E \sim \left(1 - \frac{2 \times 4}{12}\right) \times 5\text{MeV} = 1.67\text{MeV}$$

对于Si元素,

$$E \sim \left(1 - \frac{2 \times 4}{28}\right) \times 5\text{MeV} = 3.57\text{MeV}$$

应用: 卢瑟福背散射谱仪



Rutherford-Backscattering-Spectrometry

§ 1.3.2 卢瑟福原子模型和散射公式--卢瑟福公式的修正

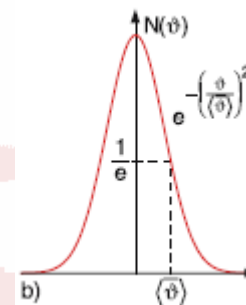
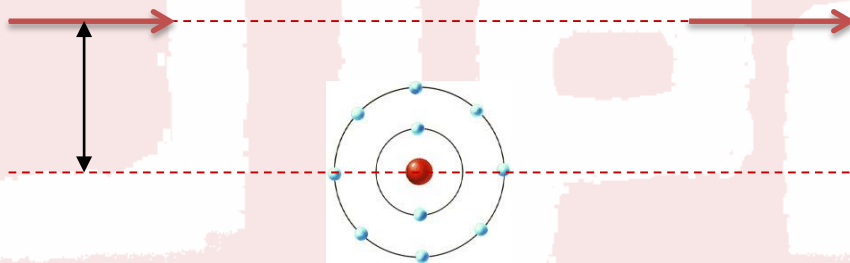


▶ 小角偏差

(1) 核外电子的屏蔽效应;

瞄准距离 b 很大

$$\operatorname{ctg} \frac{\theta}{2} = \frac{2b}{D}$$



(2) 多次散射导致小角增强。

▶ 大角偏差

思考题：如何测量 180° 附近的 α 粒子散射？

1980年代，发现在 180° 背散射附近十分之几度范围内，非晶和多晶薄膜的散射实验值比用卢瑟福公式算出的大，通常可以增大1~2倍。

双原子散射模型来解释。

§ 1.3.2 卢瑟福原子模型和散射公式--卢瑟福公式的修正



原子核的大小

$$dn = nNt \left(\frac{1}{4\pi\epsilon_0} \right)^2 \left(\frac{2Ze^2}{4E} \right)^2 \frac{d\Omega}{\sin^4(\theta/2)}$$

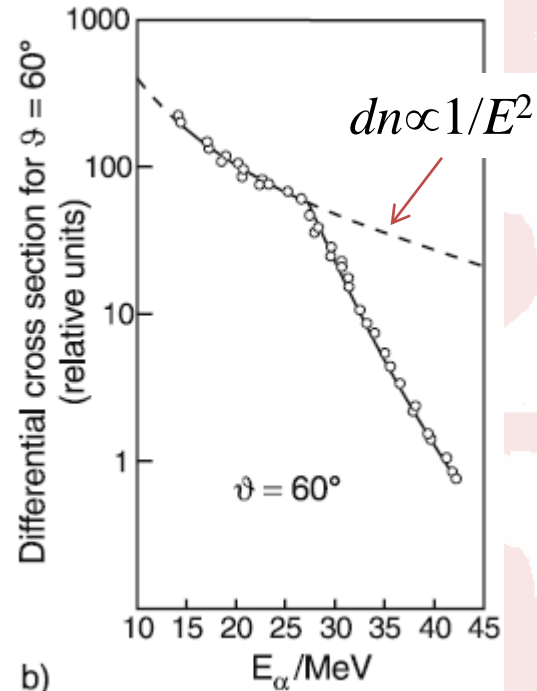
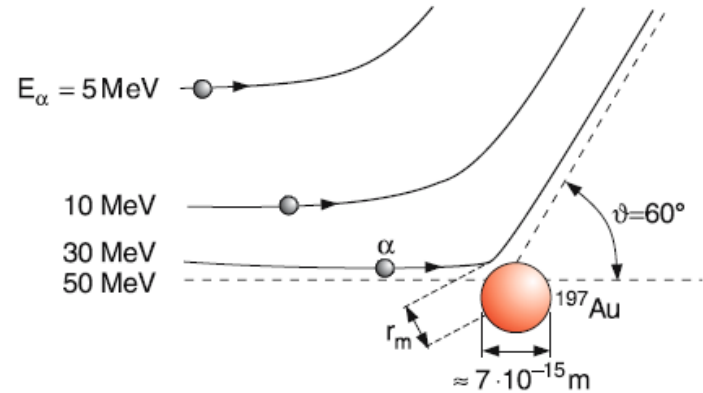
固定 θ 角, $dn \propto 1/E^2$

$$\text{ctg} \frac{\theta}{2} = \frac{2b}{D} = 4\pi\epsilon_0 \frac{bE}{Ze^2}$$

固定 θ 角, E 越大 b 越小。

小到一定程度, α 粒子会进入原子核, 散射关系发生突变(强核力起作用)。

突变点的 α 粒子正好掠过原子核表面, 最近距离 r_m 即近似为原子核半径。



b)

§ 1.3.2 卢瑟福原子模型和散射公式--卢瑟福公式的修正



原子核的大小

角动量守恒

$$mv_0 b = mv_m r_m$$

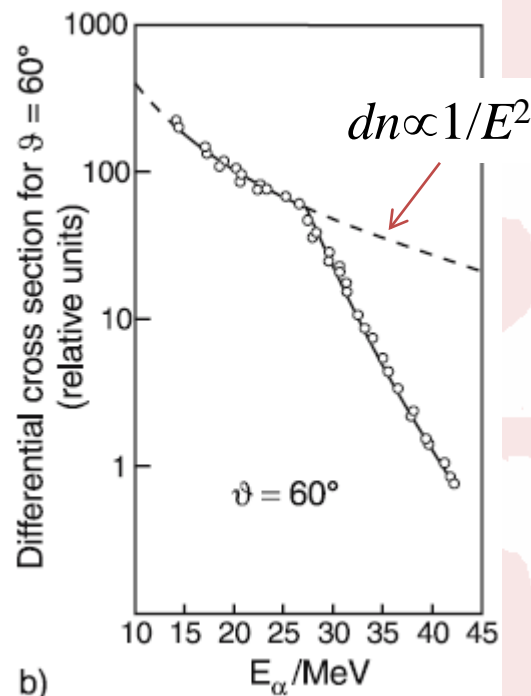
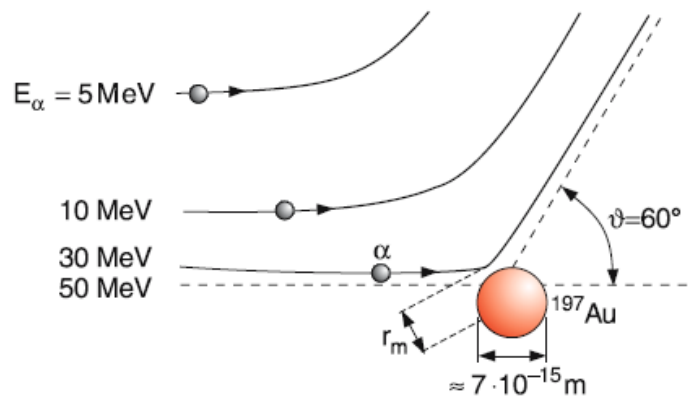
$$\rightarrow v_m = \frac{v_0}{r_m} b = \frac{v_0}{r_m} \frac{D}{2} \operatorname{ctg} \frac{\theta}{2}$$

能量守恒

$$E = \frac{1}{2} m v_0^2 = \frac{1}{2} m v_m^2 + \frac{2Z e^2}{4\pi \epsilon_0 r_m}$$

得(一元二次方程, 取“+”解)

$$r_m = \frac{D}{2} \left(1 + \operatorname{csc} \frac{\theta}{2} \right) = \left(\frac{1}{4\pi \epsilon_0} \right) \frac{2Z e^2}{2E} \left(1 + \operatorname{csc} \frac{\theta}{2} \right)$$



b)

§ 1.3.2 卢瑟福原子模型和散射公式--卢瑟福公式的修正



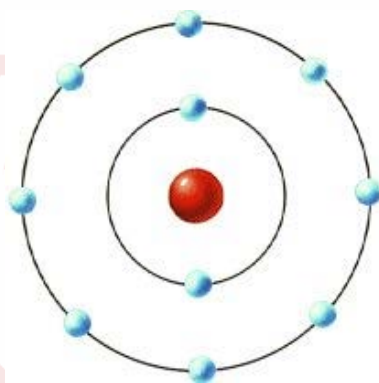
原子核的大小

图中的例子，转折点发生在25MeV

$$r_m = \left(\frac{e^2}{4\pi\epsilon_0} \right) \frac{Z}{E} \left(1 + \csc \frac{\theta}{2} \right)$$

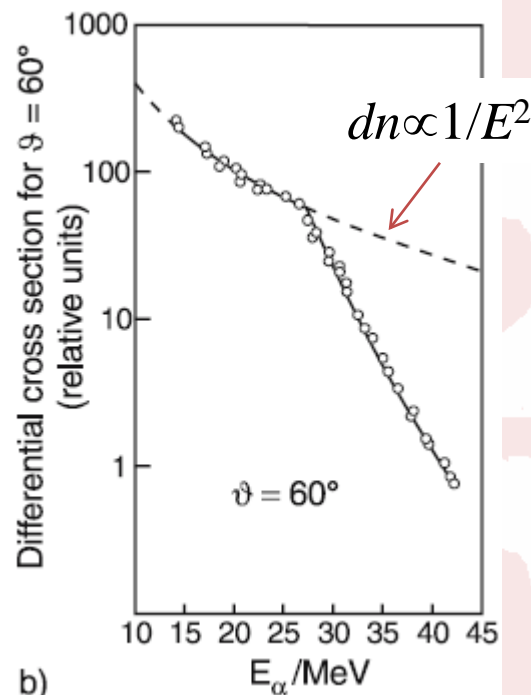
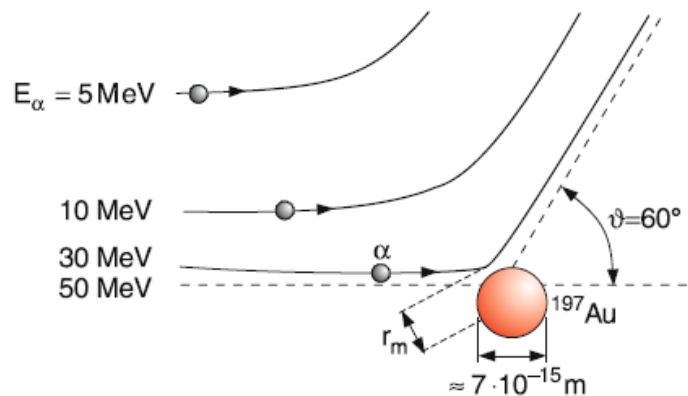
$$= 1.44 \text{ eV} \cdot \text{nm} \frac{79}{25 \text{ MeV}} \left(1 + \frac{1}{\sin 30^\circ} \right)$$

$$\sim 1.36 \times 10^{-14} \text{ m}$$



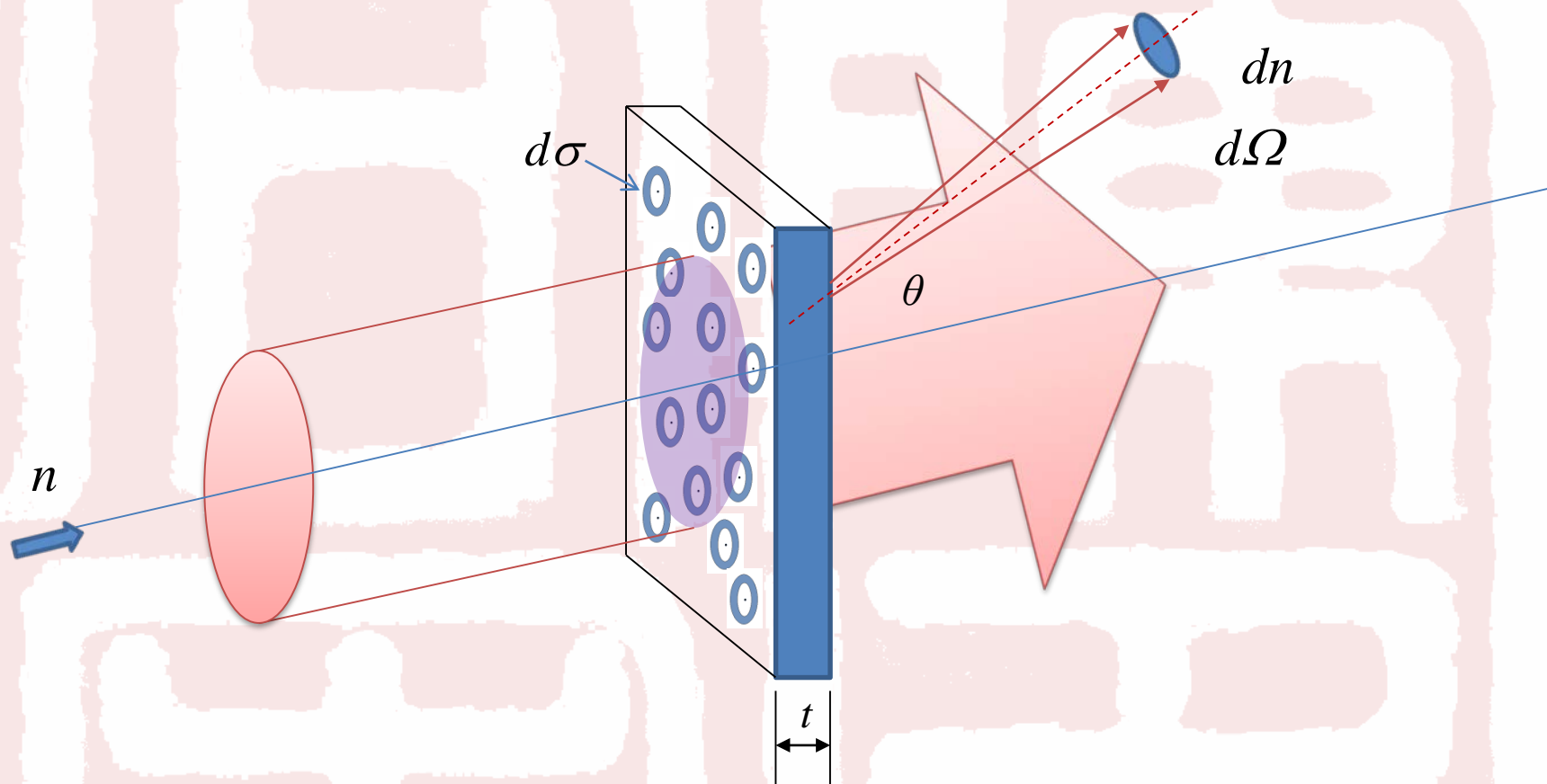
$\sim 10^{-10} \text{ m}$

$\sim 10^{-14} \text{ m}$



b)

§ 1.3.2 卢瑟福原子模型和散射公式--截面的进一步讨论



单位时间内在 θ 角方向 $d\Omega$ 立体角内探测到的被散射的粒子数 dn

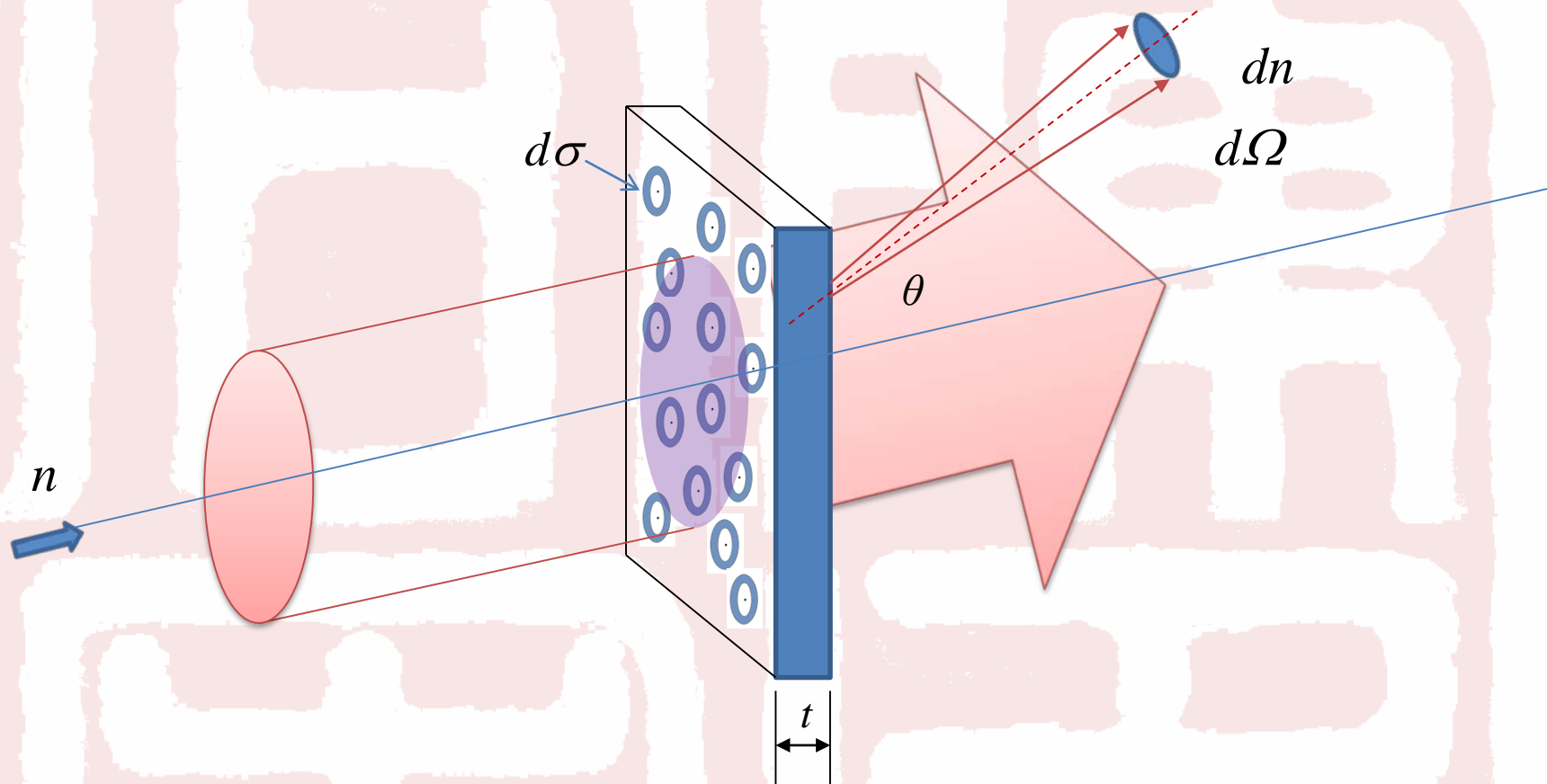
$$dn \propto NSt \cdot \frac{n}{S} \cdot d\Omega$$

散射中心数目

单位面积入射
粒子数强度

探测器所张立体角

§ 1.3.2 卢瑟福原子模型和散射公式--截面的进一步讨论



单位时间内在 θ 角方向 $d\Omega$ 立体角内探测到的被散射的粒子数 dn

$$dn = ANSt \cdot \frac{n}{S} \cdot d\Omega = ANtnd\Omega$$

§ 1.3.2 卢瑟福原子模型和散射公式--截面的进一步讨论



一个粒子被散射到 θ 角方向 $d\Omega$ 立体角内的概率

$$\frac{dn}{n} = ANtd\Omega$$

两个因子:

因子1: Nt 散射体的原子数密度和厚度。

因子2:
$$A = \frac{dn}{n} \frac{1}{Ntd\Omega} = \frac{d\sigma}{d\Omega}$$

$$= \frac{\theta\text{角方向}d\Omega\text{立体角内的散射粒子数}}{\text{入射粒子数} \times \text{单位面积的靶原子数} \times \text{探测器所张立体角}}$$

表示单位面积内垂直入射一个粒子 ($n=1$) 时, 被这个面积内的一个靶原子 ($Nt=1$) 散射到 θ 角方向单位立体角内的概率。

该因子与入射粒子数、靶的形状和靶粒子数均无关, 只决定于发生相互作用的粒子与散射中心的性质以及它们之间相互作用的动力学性质。

§ 1.3.2 卢瑟福原子模型和散射公式--截面的进一步讨论



微观相互作用机制

$$\frac{d\sigma}{d\Omega}$$

宏观可观测量

$$\frac{dn}{n} = \frac{d\sigma}{d\Omega} N t d\Omega$$

$$\frac{d\sigma}{d\Omega} = \left(\frac{1}{4\pi\epsilon_0} \right)^2 \left(\frac{2Ze^2}{4E} \right)^2 \frac{1}{\sin^4(\theta/2)}$$

α 粒子与原子的库仑散射过程

总散射截面或积分截面

$$\sigma = \int \frac{d\sigma(\theta)}{d\Omega} d\Omega = 2\pi \int_0^\pi \frac{d\sigma(\theta)}{d\Omega} \sin\theta d\theta$$